

PAŃSTWOWY INSTYTUT METEOROLOGICZNY

INSTITUT MÉTÉOROLOGIQUE DE POLOGNE

W A R S Z A W A

WIADOMOŚCI

METEOROLOGICZNE

BULLETIN MÉTÉOROLOGIQUE

Luty 1926 Février

S P I S R Z E C Z Y

TABLE DES MATIÈRES

	str.		Page
Spostrzeżenia meteorologiczne (in extenso)	35	Observations météorologiques in extenso	35
Tablica temperatur średnich i skrajnych	41	Table des températures moyennes et extrêmes	41
Wysokości opadów w i liczby dni z opadem	42	Précipitations en mm et les nombres des jours avec précipitations	42
Przebieg pogody	44	Résumé climatologique du mois	44
Mapa opadów (izohjety)	45	État de glace sur les rivières de la Pologne	45
Mapa rozkładu ciśnienia powietrza (izobary)	46	Changement du niveau d'eau sur les rivières de la Pologne	46
Mapa rozkładu temperatury (izotermy)	47	Carte des précipitations (isohyètes)	47
Zjawiska lodowe na rzekach polskich	48	Carte de la distribution de la pression (isobares)	48
Przebieg zmian stanu wody na rzekach polskich	49	Carte de la distribution de la température (isothermes)	49
W. Niebrzydowski. Hildebrandsson (ciąg dalszy)	50	W. Niebrzydowski. Hildebrandsson (suite)	50
F. E. Voloshin. New Ice Pyrheliometer	58	F. E. Voloshin. New Ice Pyrheliometer (traduction)	58
F. E. Wołoszyn. O nowym pyrheliometrze lodowym	59	F. E. Voloshin. New Ice Pyrheliometer	59
W. Niebrzydowski. Bronisław Grąbczewski	60	W. Niebrzydowski. Bronisław Grąbczewski	60
R. Gumiński. Stacja meteorologiczna w Łodzi	61	R. Gumiński. Station Météorologique à Łódź	61
B. Błażek. Stacja meteorologiczna w Cieszynie	64	B. Błażek. Station Météorologique à Cieszyn	64
E. Stenz. Wydział Morski w Nowymporcie (kom. Nr. 2)	65	E. Stenz. Bureau Maritime Polonais à Neufahrwasser (Rapport Nr. 2)	65
<i>Przegląd literatury.</i>		<i>Revue de la littérature</i>	
1. W. Niebrzydowski: a) Geograficzny Zbornik	67	1. W. Niebrzydowski. a) Recueil de Géophysique publié par l'Obs. Géophysique Central à Leningrad	67
b) Southport Auxiliary Obser.	68	b) Southport Auxiliary Observatory	68
2. J. Rychliński. R. C. Mossman. On Indian monsoon rainfall in relation to South American weather 1875—1914	69	2. J. P. Rychliński. R. C. Mossman. On Indian monsoon rainfall in relation to South American weather 1875-1914	69
<i>Bibliografia.</i>		<i>Bibliographie.</i>	
Spis wydawnictw otrzymanych przez Bibliotekę P. I. M.	73	Publications reçues par la Bibliothèque de l'In- stitut	73

Table with columns: Dni - Jours, Barometr, Temperatura powietrza, Wilgotność, Kierunek i prędkość wiatru, Zachmurzenie, Opad, U W A G I, Pokr. śnieżna. Rows 1-28 and Sr. m.

NOWY PORT (Wydział Morski)

BUREAU MARITIME POLONAIS

Table with columns: Dni - Jours, Barometr, Temperatura powietrza, Wilgotność, Kierunek i prędkość wiatru, Zachmurzenie, Opad, U W A G I, Pokr. śnieżna. Rows 1-28 and Sr. m.

Dni Jours	Barometr sprawdzony do 0 ⁰⁰ Bar. à 0 ⁰⁰ et à 45 ⁰⁰ + 700			Temperatura powietrza Température de l'air						Wilgotność Tension de la vapeur Humidité relative						Kierunek i prędkość wiatru (m/s) Direction et force du vent			Zachmurzenie (0-10) Nebulosité			Opad Precipit.	U W A G I REMARQUES	Pokr. śnieżna Couche de ng. cm
	7	1	9	Maxi- mum	Mini- mum	7	1	9	7	1	9	7	1	9	7	1	9	7	1	9				
	1	51.2	51.1	51.1	-2.5	-4.4	-2.5	-3.4	-2.5	3.1	3.1	3.5	80	88	91	S 3	E 3	E 3	10	10	10			
2	50.0	48.3	47.0	1.0	-3.1	-1.3	0.0	1.0	4.1	4.4	4.7	99	96	94	E 3	SE 4	E 4	10	10	10	—	≡ n 1 a ≡ 0 2 p	2	
3	43.3	41.4	40.4	2.7	-0.2	0.5	2.6	1.8	4.5	4.8	4.8	94	87	91	E 5	IE 4	S 5	10	7	2	—	—	1	
4	41.5	42.9	45.2	1.8	-0.5	0.4	0.5	0.6	4.7	4.8	4.8	100	100	100	SE 1	S 2	NE 3	10	10	10	2.1	≡ n 1 a 2 p ≡ 3 n e p 3 n	—	
5	47.7	49.7	53.2	1.7	-2.9	1.5	1.4	-2.2	5.0	4.9	3.7	98	96	94	NE 4	N 4	N 3	10	10	10	2.7	≡ 1 o n a 2 p ✕ 0 p 3 n Δ p	—	
6	55.7	56.6	56.8	-2.2	-8.4	-6.6	-6.6	-7.6	2.5	2.2	2.1	89	78	82	N 4	NW 4	NW 4	10	10	10	0.1	✕ n	2	
7	55.3	54.5	54.0	-7.6	-10.5	-9.6	-8.1	-9.2	1.9	2.1	2.0	85	84	86	NW 2	NW 5	N 3	10	10	10	0.3	✕ n a 2 p 3	2	
8	51.7	50.4	48.7	-6.3	-10.0	-7.0	-8.6	-8.2	2.4	2.1	2.2	88	86	87	E 6	NE 6	E 7	10	10	10	3.9	✕ 1 a 2 p 3	3	
9	53.1	54.5	55.6	-6.3	-12.4	-9.8	-6.9	-8.3	1.9	2.3	2.1	85	83	84	E 2	E 5	E 8	10	10	10	0.1	✕ 0 n a 2 p 3 n	8	
10	56.0	55.6	54.8	-4.0	-8.9	-6.8	-5.3	-4.4	2.4	2.6	2.9	88	83	89	E 9	E 10	E 12	10	10	10	3.0	✕ n p 3 † p	8	
11	54.8	55.3	55.4	-1.3	-9.5	-3.9	-7.2	-1.8	2.9	1.9	3.7	85	72	92	SE 6	E 9	SE 5	10	10	5	0.7	✕ n p † p	12	
12	54.6	53.5	53.2	0.8	-2.9	-2.0	0.5	0.4	3.5	4.3	4.2	90	90	89	E 5	E 5	E 6	10	10	7	0.0	✕ 0 n	13	
13	52.0	51.5	52.3	1.6	-1.4	-1.0	0.8	1.6	3.9	4.3	4.6	91	89	89	E 6	SE 5	SE 1	10	10	10	0.0	—	11	
14	53.4	55.5	58.8	2.8	-1.8	2.4	0.8	0.6	5.0	4.3	4.2	91	89	89	SW 4	W 3	W 4	10	10	10	—	≡ 0 1 a	7	
15	61.9	62.3	60.9	0.6	-3.8	-2.0	-2.5	-2.8	3.5	3.1	3.5	90	80	93	NW 5	E 1	E 2	10	10	10	—	—	5	
16	56.7	54.2	51.8	1.0	-4.0	-1.2	0.8	0.0	4.0	3.4	4.3	95	70	94	S 5	S 7	S 5	10	4	10	0.1	⊙ 2	5	
17	50.0	49.9	47.5	2.5	-0.4	1.0	2.2	1.2	4.7	5.2	4.8	96	96	96	S 2	SW 2	S 3	10	10	10	—	⊙ n ≡ 1 a 2 p 3	4	
18	43.5	40.3	36.3	2.4	-0.1	1.6	1.6	2.0	5.0	4.9	5.1	96	94	96	SW 3	SE 4	S 4	10	10	10	4.4	≡ 0 1 e a 2 p 3 n ✕ p	—	
19	41.0	44.0	47.1	2.5	-0.4	0.2	1.2	0.6	4.1	4.3	4.0	89	85	83	NW 4	W 6	W 3	10	10	10	—	e n	—	
20	50.7	52.8	54.3	0.6	-0.9	-0.3	0.4	0.3	3.5	3.0	3.2	78	64	70	W 2	SW 3	SW 2	10	10	10	—	—	—	
21	53.7	53.9	54.5	0.3	-1.3	-0.8	-0.2	-0.5	3.5	3.8	3.9	81	85	88	S 1	S 3	SE 3	10	10	10	0.8	✕ 0 a 2 p	—	
22	55.6	55.8	56.3	1.2	-1.0	-0.2	1.0	-0.2	4.2	4.3	4.1	92	87	90	SE 1	N 3	N 4	10	10	10	—	≡ 0 1	1	
23	57.6	60.1	61.1	-0.2	-7.5	-5.4	-2.2	-4.8	2.6	2.9	2.5	85	75	79	E 5	E 8	E 5	10	10	9	—	⊙ 2	—	
24	59.9	59.5	59.6	-1.0	-6.1	-4.2	-1.0	-1.3	2.9	3.9	3.9	87	91	93	E 5	S 3	SE 2	10	10	10	1.9	✕ 0 a 2 p 3	—	
25	61.0	63.0	64.8	1.1	-1.9	-0.4	1.0	-0.9	4.0	4.6	4.1	90	92	95	N 2	NW 3	NW 3	10	10	10	0.1	✕ n ≡ 2 1 a	2	
26	66.8	68.6	71.3	-0.9	-4.7	-1.5	-2.2	-4.2	3.8	3.1	2.6	92	79	77	NE 2	E 7	E 7	10	6	10	—	✕ n ⊙ 2	1	
27	72.4	72.1	70.5	-4.2	-9.1	-6.6	-6.5	-7.8	2.3	2.1	2.0	83	73	79	E 5	S 4	E 3	10	4	0	—	⊙ 2	1	
28	68.3	67.4	67.3	-3.6	-11.0	-10.1	-4.6	-8.2	1.8	2.0	1.9	85	60	75	E 4	E 5	E 5	0	0	0	—	∇ n ⊙ 1, 2	1	
Śr. m.	54.3	54.5	54.6	-0.6	-4.6	-2.7	-1.8	-2.3	3.5	3.5	3.6	89	84	88	3.8	4.6	4.3	9.6	8.6	8.7	—	—	—	

POZNAŃ — Uniwersytet

1	50.6	50.7	50.1	7.7	-0.5	0.5	6.1	-0.4	4.7	5.3	4.5	98	75	100	SE 1	SE 5	SE 1	10	2	10	—	≡ 1 a ≡ 0 p 3	—
2	47.6	46.6	44.2	8.8	-0.5	0.2	6.2	4.2	4.5	5.2	5.5	96	74	89	SE 5	SE 5	SE 3	5	9	10	0.3	∞ ⁰ 1 ∞ ⁰ 1 o n (22h 40')	—
3	41.3	40.8	40.6	10.0	2.4	2.6	8.2	4.4	5.1	5.9	5.9	93	73	96	SE 3	SW 5	S 1	10	9	0	0.0	∞ ² 1, 3	—
4	40.5	42.7	47.3	4.9	2.2	2.8	4.4	2.8	5.2	5.5	5.5	93	89	98	ENE 4	ENE 3	NNE 3	10	10	10	0.0	∞ ² n ∞ 1, 2	—
5	51.4	54.0	56.6	3.7	1.8	2.0	3.2	1.8	5.2	5.5	4.9	98	95	93	N 2	N 5	N 3	10	10	10	0.4	≡ 0 1 e ⁰ a	—
6	58.2	58.4	58.1	2.3	-2.3	-0.2	0.1	-2.2	4.4	4.1	3.5	96	89	90	E 2	E 5	NE 5	10	10	10	0.3	∞ ⁰ 1 → p	—
7	56.0	55.5	55.5	-2.0	-5.1	-3.7	-4.2	-5.0	3.0	2.8	2.6	85	82	81	E 7	E 7	E 7	10	10	10	—	—	—
8	55.4	54.6	53.4	-4.7	-7.0	-6.3	-5.9	-5.2	2.3	2.3	2.4	81	79	76	E 5	N 5	SW 2	10	10	10	0.0	✕ 0 a 2 p	—
9	52.3	52.1	51.7	-2.6	-5.2	-4.8	-3.2	-2.8	2.1	2.6	2.8	67	72	76	SSE 5	ESE 5	E 2	10	10	10	0.0	✕ 0 a 2 ⊙ a	—
10	49.3	49.0	50.0	5.9	-3.0	-0.4	4.5	2.4	3.6	4.7	5.1	80	74	93	E 3	SE 5	SE 2	10	8	8	0.1	∞ ⁰ 1, 3 ⊙ a 2 e ⁰ p	—
11	51.1	51.7	51.8	7.5	0.0	0.3	5.6	3.0	4.6	5.8	5.3	98	85	93	E 1	S 3	ESE 1	10	10	7	0.0	∞ n ≡ 0 1 ∞ ⁰ 2, 3 e ⁰ a	—
12	51.3	50.4	50.1	6.3	1.3	2.4	5.1	4.5	5.2	5.6	5.7	94	86	90	ESE 2	E 4	SSE 5	10	10	10	0.0	e ⁰ a ∞ ² 1 ∞ ⁰ 2, 3	—
13	51.0	52.0	55.0	10.9	2.0	3.2	8.4	2.7	5.5	6.4	4.9	95	78	87	S 3	S 6	W 4	10	10	10	—	∞ 1	—
14	60.0	62.2	64.7	3.3	-0.1	0.7	0.5	0.2	4.4	4.5	4.2	90	94	90	WNW 3	W 2	0	10	10	10	0.0	⊙ 2 p ∞ ⁰ 1, 2	—
15	64.9	63.7	60.8	1.7	-0.2	0.0	0.8	0.3	4.3	4.3	4.2	92	89	90	SE 2	E 3	SE 7	10	10	10	—	∞ 1	—
16	56.0	53.5	52.8	4.6	-1.0	-0.7	4.1	3.3	4.2	4.4	5.5	96	72	95	SSE 5	SSW 7	SW 7	10	10	5	0.2	∞ ² 1 ∞ ⁰ 2, 3 ⊕ a e ⁰ p	—
17	52.9	50.9	47.2	10.6	1.9	2.6	7.8	4.8	5.3	5.2	5.5	96	65	86	SW 2	S 7	W 11	10	8	9	1.9	∞ ² 1 ⊙ a 2 p ∞ ⁰ p 3 p	—
18	40.4	37.3	41.4	7.2	1.9	2.5	6.9	2.4	5.3	6.9	5.0	96	93	91	SE 6	SW 7	N 5	10	10	10	6.8	⊙ n 1 a 2 p ∞ n	—
19	49.1	50.2	49.5	5.8	0.5	1.2	3.8	2.0	4.4	4.3	4.7	87	72	89	WNW 5	W 7	SSE 1	10	10	10	0.2	⊙ 1 ∞ n	—
20	52.4	54.5	54.6	4.5	0.9	1.3	4.0	3.3	4.8	5.1	5.6	94	84	97	ENE 3	ESE 7	SSE 2	10	10	10	0.4	∞ 1, 3 ⊙ n p	—
21	54.6	55.5	56.9	8.9	3.1	3.6	7.3	7.1	5.7	6.4	7.2	97	85	96	SW 1	W 3	N 1	10	10	10	1.2	≡ 1 a e ⁰ p 3 n	—
22	56.5	54.6	53.2	7.7	4.7	5.2	6.8	7.2	6.5	7.2	7.4	98	98	98	S 3	S 3	WSW 2	10	10	10	13.7	∞ ² 1 ∞ ⁰ 3 ⊕ a 2 p 3 n	—
23	57.3	59.8	60.8	7.4	2.9	3.3	4.6	4.7	5.7	6.0	6.3	98	96	98	NNW 2	NE 2	SSE 1	10	10	10	2.8	⊙ n a 2 ∞ 1, 2 ∞ ² 3 ≡ n	—
24	59.2	59.1	60.8	8.0	4.4	5.0	6.8	7.0	6.3	7.3	7.4	97	99	99	SSE 3	SW 3	NE 2	10	10	10	1.4	⊙ n 1 ∞ ² 1 ≡ 2, 3	—
25	64.0	65.9	68.1	9.2	4.0	5.0	7.6	4.0	6.4	6.3	5.5	98	80	90	ENE 3	E 5	E 4	10	9	3	—	∞ 1 ∞ ⁰ p	—
26	70.0	69.2	71.1	4.7	0.0	1.2	4.2	0.1	4.6	4.8	3.6	92	77	78	NE 3	ENE 5	SE 7	10	10	10	—	∞ ⁰ 1, 2	—
27	71.3	70.6	68.1	2.9	-1.3	-0.2	0.5	-0.5	3.7	3.5	3.6	81	73	81	ESE 7	E 7	SE 7	10	10	10	—	⊙ p ∞ p n	—
28	64.3	63.4	64.5	6.3	-4.2	-4.0	4.3	0.1	2.6	3.8	3.5	77	62	76	SE 10	SE 7	SE 7	3	1	0	—	∞ n ⊙ 1 ⊕ p	—
Śr. m.	54.6	54.6	55.0	5.4	0.1	0.9	3.9	2.0	4.6														

WARSZAWA
ST. POMP RZECZYNYCH

φ = 52° 13' λ = 21° 3' H = 89.9 m

VARSOVIE
USINE DES EAUX

LUTY — FÉVRIER 1926

Table with columns: Dni - jours, Barometr, Temperatura powietrza, Wilgotność, Kierunek i prędkość wiatru, Zachmurzenie, Opad, U W A G I, Pokr. śnieżna. Rows 1-28 with daily weather data.

BRZEŚĆ N/B. (MITKI)

BRZEŚĆ SUR BUG (MITKI)

φ = 52° 06' λ = 26° 3' H = 134.7? m

LUTY — FÉVRIER 1926

Table with columns: Dni - jours, Barometr, Temperatura powietrza, Wilgotność, Kierunek i prędkość wiatru, Zachmurzenie, Opad, U W A G I, Pokr. śnieżna. Rows 1-28 with daily weather data.

Śr. m. 51.9 52.3 52.6 ... 4.2 4.6 3.8 9.3 9.2 8.7

ŁÓDŹ

KOL. ELEKTR. ŁÓDZK.

φ = 51° 46' 19° 29' II = 218.5 m

LUTY — FÉVRIER 1926

Table with columns: Dni - Jours, Baromet, Temperatura powietrza, Wilgotność, Kierunek i prędkość wiatru, Zachmurzenie, Opad, U W A G I, Pokr. śnieżna. Rows 1-28 and summary row (Śr. m).

PUŁAWY — Instytut (BAROGRAPHE)

φ = 51° 25' λ = 21° 57' H = 147.0 m

LUTY — FÉVRIER 1926

Table with columns: Dni - Jours, Baromet, Temperatura powietrza, Wilgotność, Kierunek i prędkość wiatru, Zachmurzenie, Opad, U W A G I, Pokr. śnieżna. Rows 1-28 and summary row (Śr. m).

SARNY POLESKIE

φ = 51° 22' λ = 26° 34' II = 158.0 m

LUTY — FÉVRIER 1926

Table with columns: Dni - Jours, Barometr, Temperatura powietrza, Wilgotność, Kierunek i prędkość wiatru, Zachmurzenie, Opad, U W A G I, Pokr. śnieżna. Rows 1-28 and summary row.

KRAKÓW

φ = 50° 04' λ = 19° 58' II = 221.0 m

LUTY — FÉVRIER 1926

Table with columns: Dni - Jours, Barometr, Temperatura powietrza, Wilgotność, Kierunek i prędkość wiatru, Zachmurzenie, Opad, U W A G I, Pokr. śnieżna. Rows 1-28 and summary row.

Dni—Jours	Barometr sprovedzony do 0° Bar. a 0° et à 45° + 700			Temperatura powietrza Temperature de l'air			Wilgotność bezzględ. w mm Tension de la vapeur						względna w % Humidité relative			Kierunek i prędkość wiatru (m/s) Direction et force du vent			Zachmurzenie (0—10) Nebulosité			Opad Précipit.	U W A G I REMARQUES	Pokr. śnieżna Couche de ng. cm		
	7	1	9	Maxi-mum	Mini-mum	7	1	9	7	1	9	7	1	9	7	1	9	7	1	9	7				1	9
	1	31.3	31.7	32.8	0.8	-3.2	-2.7	0.6	0.4	3.5	4.3	4.4	92	90	93	SSE 1	0	0	10	10	10				0.3	⊙ a Δ a
2	32.3	31.0	29.5	2.1	-3.2	-3.0	2.0	-1.2	3.5	4.6	3.8	94	87	90	SSW 1	0	0	9	9	0	—	—	—			
3	26.4	24.8	23.7	3.3	-2.0	-0.6	1.8	3.3	4.1	4.8	5.4	93	92	92	SSE 4	SSE 3	SSW 2	10	10	0	0.1	⊙ a	—			
4	23.4	23.3	25.7	8.0	0.9	3.4	7.9	1.0	5.4	6.5	4.4	92	81	90	0	0	SE 1	3	6	9	—	—	—			
5	28.5	29.7	32.2	4.5	0.0	1.4	4.5	2.2	4.7	5.7	5.2	93	90	97	0	W 3	0	10	10	10	0.1	≡	—			
6	33.9	34.7	35.4	2.2	-0.5	0.6	0.8	-0.4	4.6	4.7	4.3	96	96	96	0	WNW 1	0	10	10	10	0.6	≡ ap ✕ n (6-7)	—			
7	33.7	32.3	30.4	-0.4	-1.2	-1.2	-1.0	-1.2	4.0	4.1	4.0	96	96	96	0	0	0	10	10	10	12.0	Δ chwil. ✕ n (7-8)	—			
8	27.2	28.1	31.3	-1.2	-5.8	-4.4	-4.2	-5.8	3.1	2.9	2.5	93	88	85	0	NW 2	WNW 1	10	10	10	1.4	✕ ap chwil.	—			
9	32.3	33.0	34.0	-3.0	-7.1	-6.8	-4.6	-3.0	2.3	2.7	3.4	84	82	92	ESE 1	SE 1	SE 4	10	10	10	—	—	—			
10	34.2	35.2	35.9	-1.1	-3.3	-3.2	-1.2	-1.8	3.3	3.8	3.7	92	90	92	SE 5	SSE 3	SE 6	8	10	10	0.1	✕ a	—			
11	38.8	37.1	37.3	-0.8	-3.4	-3.4	-0.8	-1.6	3.3	3.8	3.7	91	89	90	SSE 5	SE 1	SE 8	7	9	10	—	✕ a	—			
12	36.6	35.7	34.7	0.9	-2.0	-1.4	0.6	0.3	3.8	4.3	4.3	92	90	91	SSE 3	SE 1	SSE 2	10	10	0	—	—	—			
13	33.8	34.1	34.7	1.5	-1.6	-1.4	1.5	-1.2	3.9	4.6	4.0	94	90	96	SSE 1	SE 1	0	10	4	10	—	≡ n a	—			
14	36.1	37.7	40.6	1.2	-2.6	-1.6	1.0	0.0	3.8	4.3	4.3	94	86	93	0	0	NNW 2	10	10	10	—	—	—			
15	42.2	42.7	42.1	0.0	-1.3	-1.2	-0.8	-1.1	4.0	3.8	3.8	94	87	91	0	NW 1	0	10	10	10	—	—	—			
16	39.2	37.5	36.0	2.0	-2.0	-1.2	2.0	0.2	3.9	4.4	4.2	92	84	91	NW 1	SSW 1	SSE 3	10	3	9	—	—	—			
17	34.2	33.1	31.6	2.7	-1.2	-0.4	2.6	1.2	4.1	4.3	4.5	93	78	90	SSW 1	SW 1	SW 1	10	10	10	—	—	—			
18	29.4	26.9	24.1	4.4	-0.8	-0.4	4.4	2.1	4.0	5.2	4.5	89	82	85	SW 3	SSW 2	SSW 5	2	10	10	2.5	⊙ n (18-19)	—			
19	23.6	26.2	29.5	2.7	-1.0	2.2	-0.2	-0.6	4.6	4.1	4.1	85	91	93	WSW 4	WNW 5	WNW 3	10	10	10	0.8	✕ p	—			
20	31.0	33.4	36.1	-0.2	-1.8	-1.6	-0.2	-0.8	3.8	4.0	3.7	92	89	85	0	NW 1	0	10	10	10	—	—	—			
21	36.0	36.0	36.4	0.2	-2.4	-2.4	0.2	0.2	3.5	4.1	4.2	90	88	89	0	0	SW 1	8	10	10	0.3	Δ p ✕ p	—			
22	36.8	36.9	35.8	4.4	0.0	1.2	4.4	2.4	4.8	5.7	5.1	97	91	94	0	0	SE 3	10	10	10	2.1	≡ a ⊙ n (22-23)	—			
23	35.0	36.6	39.8	2.4	0.4	1.6	2.0	0.4	4.8	4.9	4.4	93	92	93	SSE 1	SE 1	0	10	10	10	2.0	e°	—			
24	40.9	41.3	40.7	1.4	-0.4	-0.2	1.4	0.8	4.2	4.1	4.5	93	80	93	SSE 3	S 3	SSW 2	10	10	10	1.9	e p n (24-25)	—			
25	40.4	42.2	44.7	1.8	-0.8	1.8	0.4	-0.5	5.0	4.4	4.0	95	93	91	0	N 4	NNE 2	10	10	10	—	—	—			
26	45.0	45.1	48.3	0.1	-5.9	-0.4	0.0	-5.9	4.2	4.2	2.5	94	91	85	0	E 1	ENE 6	10	10	10	1.6	✕ Δ chwilami	—			
27	50.9	50.9	50.0	-5.8	-12.0	-11.6	-6.2	-9.6	1.4	2.0	1.7	76	70	77	ENE 1	ESE 3	ESE 1	7	0	0	—	—	—			
28	46.8	45.9	46.2	-4.8	-13.0	-12.6	-5.4	-6.4	1.3	2.1	2.4	74	69	84	ESE 1	ESE 3	ESE 4	0	0	10	—	—	—			
Śr. m.	35.0	35.1	35.7	1.1	-2.8	-1.8	0.5	-1.0	3.8	4.2	4.0	91	87	91	1.3	1.5	2.0	8.7	8.6	8.5	—	—	—			

ZAKOPANE

600mm +

φ = 49° 17' λ = 19° 58' H = 846.4 m

LUTY — FÉVRIER 1926

1	85.8	86.4	87.0	3.4	-3.2	-0.8	3.2	-3.2	4.0	4.1	3.3	94	71	93	0	E 1	S 1	10	3	1	—	⊙ 2	7
2	85.9	84.9	83.7	5.1	-5.4	-4.2	3.3	-3.6	3.2	3.1	3.1	96	56	89	0	N 1	0	6	7	5	—	⊙ 2	6
3	80.6	80.0	79.0	7.7	-3.6	0.2	6.4	-1.0	4.2	4.7	4.0	91	66	95	S.1	S 1	E 1	10	9	0	—	—	4
4	77.8	79.3	83.2	10.7	-1.2	8.3	7.3	3.2	5.0	5.1	5.2	62	68	90	S 4	N 1	0	8	9	10	1.3	(n wiatr halny)	2
5	86.3	87.6	89.4	3.5	1.6	2.0	2.6	1.6	5.2	5.2	5.2	98	94	100	0	SW 2	SW 1	10	10	10	1.8	e° n l a p 3 n	—
6	90.0	89.9	89.6	2.5	0.1	1.1	2.2	0.1	5.0	4.9	4.3	100	92	94	0	E 1	E 1	10	10	10	—	e n ≡ n l a	—
7	87.4	86.2	84.2	1.1	-2.1	-2.1	0.5	0.0	3.9	4.0	4.3	98	83	95	0	E 1	E 1	10	10	10	3.0	—	—
8	84.0	84.6	85.0	0.2	-9.0	-5.6	-6.0	-9.0	2.6	2.4	2.1	87	83	92	NE 2	NE 1	NE 1	10	10	10	0.6	✕° n l a ≡ 3	3
9	84.5	85.0	85.9	-0.4	-12.9	-8.4	-1.0	-4.4	2.2	2.8	2.8	89	65	85	0	0	S 2	10	10	4	—	—	4
10	84.9	86.0	86.8	8.0	-4.4	5.3	7.6	5.0	4.2	4.6	4.8	64	60	73	S10	SW 8	N 4	7	10	9	—	(w wiatr halny n l a)	2
11	88.7	88.5	89.2	9.5	2.0	2.2	8.5	6.5	3.8	4.4	5.0	71	54	70	0	S 6	S 4	7	9	7	—	(w górach w. halny)	—
12	88.2	88.0	88.4	12.6	2.1	6.4	10.7	2.2	4.9	4.8	4.7	68	50	86	NE 3	S 4	SW 2	10	7	8	—	⊙ 2 (w gór. w. halny)	—
13	89.0	89.1	90.2	9.1	0.5	1.2	7.6	2.8	4.4	5.1	4.9	88	66	87	0	N 3	SW 2	9	3	9	1.3	⊙ 2	—
14	92.4	93.7	95.8	3.2	-1.9	1.8	0.8	-1.9	5.1	4.8	4.0	97	100	100	0	N 3	NE 3	10	10	10	0.9	≡ e° n l a 2 p 3	—
15	96.4	96.4	95.2	-0.9	-3.7	-3.4	-2.0	-3.7	3.5	3.7	3.5	97	94	99	NE 2	NE 2	0	10	10	10	0.1	≡ n l a p 3	—
16	92.6	91.1	90.2	1.0	-7.5	-7.5	0.0	-2.6	2.4	3.9	3.1	94	84	80	0	NE 1	S 2	2	10	1	—	—	—
17	88.9	88.0	87.2	1.8	-3.1	-1.8	1.6	-2.8	3.5	4.5	3.3	87	87	90	0	S 1	SW 2	10	10	3	3.1	✕ a 2 p	—
18	83.3	80.0	79.3	5.8	-6.2	-3.4	5.3	1.4	3.4	3.7	4.3	95	56	84	SW 2	SW10	S 3	9	10	9	3.8	(w. hal. w. gór. ✕)	2
19	83.3	85.8	86.0	4.8	-5.4	-2.8	-2.9	-5.4	3.6	3.2	2.5	98	87	82	W 8	W 6	SW 1	10	10	7	4.2	✕ n l a 2 p	2
20	85.1	89.4	90.4	0.0	-7.3	-4.2	-0.6	-0.8	3.2	4.0	3.7	95	93	85	0	SW 2	0	10	10	10	3.5	✕ n l a	10
21	90.2	90.8	92.4	3.5	-1.5	0.0	3.0	1.7	4.5	5.1	5.1	98	91	98	SW 2	W 3	W 1	10	10	10	4.2	✕ n l a ⊙ przelotny	13
22	92.4	90.8	90.0	8.0	1.5	2.4	7.6	2.7	5.3	6.1	5.3	96	78	95	W 2	W 2	0	10	9	10	6.5	e n a 3	2
23	91.8	93.2	95.2	3.5	0.9	1.8	1.9	0.9	5.0	4.9	4.8	95	93	98	W 3	W 3	W 2	10	10	10	3.1	⊙ ✕ n l a 2 p 3	—
24	95.9	95.4	95.4	5.1	-1.0	-0.9	4.7	1.7	4.0	4.3	5.0	93	67	96	S 2	W 3	W 2	7	10	10	2.2	⊙ 3	—
25	96.0	97.0	99.2	5.9	-2.0	1.8	4.5	-1.8	5.2	5.2	3.8	100	82	94	0	NE 2	N 1	10	9	7	—	e n mglisto	—
26	00.0	98.9	00.2	-0.3	-4.4	-2.1	-1.2	-4.4	3.5	3.1	2.9	91	73	88	E 2	E 2	NE 3	10	10	10	1.7	✕° p	—
27	01.7	01.0	00.2	0.0	-7.5	-7.3	-2.2	-7.0	2.4	2.3	2.5	91	59	91	NE 4	NE 3	0	10	1	0	—	⊙ 2	2
28	57.8	96.5	57.4	2.9	-9.4	-9.4	2.3	-3.0	1.9	2.8	2.9	86	53	82	S 2	N 1	S 1	0	1	1	—	⊙ 2	1
Śr. m.	89.3	89.4	89.8	4.2	-3.4	-1.0	2.7	-0.9	3.5	4.2	3.9	90	75	90	1.8	2.6	1.5	8.8	8.5	7.2	—	—	—

Temperatury średnie i skrajne w m. lutym 1926 r. w Polsce.

Températures moyennes et extrêmes en Pologne au mois de Février 1926.

STACJE	Temp. średn.	Max. (dn)	Min. (dn.)	STACJE	Temp. średn.	Max. (dn.)	Min. (dn.)
Puck Dow. Portu	0,7	8,0 (17)	— 8,3 (9)	Bojanowo	2,4	12,8 (13)	— 8,0 (8)
Puck Mor. Dyw. Lot.	0,4	8,2 (17)	— 8,6 (9)	Zbiersk	2,5	9,5 (12)	— 9,5 (8)
Chałupy *)	0,1	3,2 (17)	— 7,8 (9)	Kalisz	2,1	11,0 (13)	— 7,8 (8)
Gdynia	0,1	7,5 (3)	—10,9 (9)	Zduńska Wola	2,3	10,0 (13)	— 6,0 (8)
Nowyport	0,5	7,3 (3)	— 9,5 (9)	Sokolniki	2,0	10,2 (12)	— 8,5 (8)
Tczew	—	—	—	Łódź	1,5	10,0 (4)	— 8,9 (8)
Kościerzyna *)	0,4	7,1 (1)	—10,8 (9)	Radomsko	—	—	—
Chojnice	0,0	8,0 (25)	— 9,4 (9)	Piotrków	1,5	11,1 (13)	—10,4 (9)
Grudziądz	1,2	8,8 (3)	— 9,6 (9)	Końskie	—	—	—
Bydgoszcz Inst. Roln.	1,2	9,1 (3)	— 7,7 (8)	Strzelna	—	—	—
Bydgoszcz Lotnisko *)	1,1	7,3 (3)	— 6,3 (7)	Skiernewice	0,7	8,9 (13)	— 8,3 (8)
Trzebcz	—	—	—	Czersk	—	—	—
Dźwierzno	—	—	—	Radom	0,9	10,9 (4)	— 8,6 (28)
Toruń Kosz. Prąd.	1,3	8,5 (3)	—10,6 (8)	Puławy	0,5	10,9 (4)	— 9,0 (28)
Toruń - Podgórz	1,3	8,8 (3)	— 9,0 (8)	Sobieszyn	—0,3	7,6 (4)	—10,5 (28)
Toruń - Lotnisko	1,2	8,8 (3)	— 8,7 (8)	Stara Wieś	—0,8	7,5 (18)	— 9,4 (28)
Byszałd	—	—	—	Zemborzyce	—0,4	9,4 (4)	—10,0 (28)
Ostrowite	0,7	7,3 (3)	— 9,5 (8)	Lublin Fabr. Aeroplanów	—0,3	8,4 (4)	—10,5 (28)
Kisielnica	—1,5	4,1 (3,14)	—10,8 (8)	Kijany	—	—	—
Płociczno	—2,6	3,0 (3)	—11,7 (9)	Przegaliny	—	—	—
Białystok Seminarjum	—1,7	3,8 (3)	—14,5 (9)	Kołpin	—	—	—
Białystok-Zwierzyniec*)	—1,6	2,6 (18) ?	— 9,7 (28)	Maniewicze	—	—	—
Słojka	—1,4	8,0 (4)	—12,0 (9)	Sarny	—3,0	5,5 (4)	—24,9 (28)
Kopciowszczyzna	—	—	—	Dermań	—2,1	3,0 (18)	—15,8 (27)
Grodno	—2,3	2,7 (3)	—12,4 (9)	Ostrów	—2,4	3,8 (18)	—19,6 (28)
Szejbakpole	—	—	—	Białokrynica	—1,9	4,5 (18)	—14,6 (28)
Wilno Uniwersytet	—3,7	2,0 (4, 18)	—14,2 (23)	Wiśniowiec	—2,7	2,3 (18)	—17,3 (28)
Wilno-Antokol.	—3,8	2,5 (4, 18)	—14,6 (23)	Łuck	—2,0	5,6 (4)	—14,5 (28)
Pohulanka	—4,5	2,3 (18)	—21,0 (28) ?	Kiwerce	—1,9	3,5 (18)	?
Dzisna	—	—	—	Wojślawice *)	—1,2	5,2 (4)	—12,2 (28)
Bieniakonie	—4,3	1,5 (3,4, 18)	—17,5 (28)	Szczercz	—	—	—
Lida*)	—3,7	1,6 (3)	—17,0 (28)	Poturzyn	—	—	—
Słonim	—3,2	?	—16,4 (28)	Tomaszów Lubelski	—1,3	6,4 (4)	—12,8 (28)
Zyrowice	—3,3	2,5 (4)	—19,5 (28)	Klemensów	—	—	—
Pińsk	—2,4	6,6 (4)	—17,6 (28)	Cieszanów	—	—	—
Drohiczyn Poleski	—	—	—	Milków *)	0,8	9,0 (4)	— 9,7 (27)
Mitki	—1,1	9,6 (4)	—12,0 (9, 28)	Jarosław*)	0,1	6,8 (16)	— 9,2 (28)
Brześć n/B	—	—	—	Dolne*)	0,9	11,9 (4)	— 9,8 (28)
Białowieża	—1,7	3,5 (2)	—13,0 (9)	Mikulice	—	—	—
Bielsk Podlaski	—0,7	3,8 (17, 18)	—11,3 (8)	Głogów *)	0,7	0,4 (4)	— 9,2 (27)
Wysokie	—	—	—	Sędziszów	—	—	—
Biała Podlaska	—0,8	8,8 (4)	— 11,0 (28)	Mielec	—	—	—
Siennica	—	—	—	Gołębiów	0,5	8,0 (4)	—11,4 (28)
Grabnik	—0,4	8,4 (3)	—9,0 (8, 9, 28)	Baranów	—	—	—
Bielany	—	—	—	Sandomierz	—	—	—
Warszawa-Marymont	0,5	8,1 (13)	— 8,1 (8)	Kielce Dyr. Kolei	0,9	10,9 (4)	— 9,1 (28)
Warszawa - Mokotów	0,3	9,7 (4)	— 8,3 (8)	Kielce Gimnazjum	—	—	—
Warszawa St. Pomp.	0,4	8,3 (13)	— 8,2 (8)	Kielce Lotnisko	1,2	9,5 (4)	—12,6 (28)
Rembertów	0,5	8,2 (13)	— 9,0 (8)	Sielec	1,6	12,8 (12)	— 8,0 (28)
Mory	0,2	8,1 (13)	— 8,9 (8)	Hebdom	—	—	—
Otwock	—	—	—	Kraków	2,8	12,9 (12)	— 7,1 (28)
Łowicz	—	—	—	Rakowice	2,3	14,5 (12)	— 8,0 (28)
Joniec	0,1	7,4 (13)	— 9,5 (8)	Mydlniki*)	2,1	13,2 (12)	— 7,4 (28)
Opatówiec	—	—	—	Rożnica	—	—	—
Gołębiów	1,0	9,2 (13)	— 8,5 (8)	Częstochowa	2,2	12,4 (13)	— 7,9 (8)
Skotniki	—	—	—	Złoty Potok	2,2	11,6 (3)	— 9,6 (28)
Błonie	1,2	9,4 (3)	— 8,5 (8)	Czarnocin	1,2	10,5 (13)	— 9,0 (8)
Kościelec	1,4	9,9 (3)	— 8,7 (8)	Sosnowiec	2,6	12,0 (3)	?
Brześć Kujawski	0,9	9,4 (3)	— 8,2 (8)	Wojkowie Kościelne	2,3	10,0 (12)	— 6,4 (9)
Stary Brześć	1,0	8,8 (3)	— 9,0 (8)	Olkusz	—	—	—
Włocławek	—	—	—	Chrzanów *)	2,6	11,5 (22) ?	— 7,2 (28)
Ciechocinek	—	—	—	Cieszyn	3,3	14,2 (3)	— 7,6 (9)
Dobre	1,2	8,2 (3)	— 8,8 (6,7)	Hermanice	3,5	14,4 (3)	— 8,5 (9)
Kruszwica	1,0	9,2 (3)	— 8,0 (8)	Bielsko	—	—	—
Włoszanowo*)	1,0	7,3 (13)	— 6,2 (8)	Istebna	—	—	—
Biedrusko	1,8	10,0 (17)	— 7,3 (8)	Żywiec	2,9	13,9 (3)	— 7,9 (9)
Poznań Uniwersytet	2,2	10,9 (13)	— 7,0 (8)	Pewel Mała*)	2,3	12,0 (4)	— 7,2 (28)
Poznań - Ławica	1,7	9,6 (3)	— 7,7 (8)	Wadowice	—	—	—
Pętkowo	2,1	10,0 (3)	— 8,0 (8)	Wieliczka	2,9	15,0 (12)	— 8,7 (28)

*) Maximum i minimum według spostrzeżeń terminowych.

**) Średnia temperatura miesięczna obliczona z 27 dni.

STACJE	Temp. sredn.	Max. (dn.)	Min. (dn.)	STACJE	Temp. sredn.	Max. (dn.)	Min. (dn.)
Bochnia	2,9	?	?	Sanok *)	2,3	13,2 (11,12,13)	- 8,9 (28)
Tarnów	2,4	14,0 (13)	- 9,0 (28)	Bircza	—	—	—
Świniarsko	—	—	—	Przemysł	—	—	—
Nowy Sącz	—	—	—	Medyka	0,5	10,0 (4)	-10,0 (28)
Nowy Targ	—	—	—	Wola Dobrostańska *)	-0,6	6,7 (4)	-11,3 (28)
Poronin *)	0,3	7,8 (13)	-10,0 (28)	Orchowice *)	-0,9	7,3 (4)	-14,0 (27)
Zakopane	0,0	12,6 (12)	-12,9 (9)	Dublany	-1,0	8,0 (4)	-13,3 (28)
Zakadnia *)	-0,6	12,6 (4)	- 7,5 (19)	Lwów Politechnika	-0,8	8,0 (4)	-13,0 (28)
Maniowy	—	—	—	Lwów Lotnisko	—	—	—
Sromowce Niżne	—	—	—	Lwów ul. Zielona *)	-1,1	8,3 (4)	-12,7 (28)
Szczawnica	—	—	—	Josefsberg	—	—	—
Łomnica	—	—	—	Nowe Siolo	—	—	—
Krynica *)	-0,1	6,8 (13)	- 5,8 (28)	Kropiwnik	—	—	—
Tylicz	—	—	—	Cerkowna	—	—	—
Libusza	2,2	12,8 (13)	-12,0 (10)	Porohy *)	-0,4	9,9 (2, 3)	-16,0 (28)
Brzyszczyki *)	1,9	9,8 (13)	- 9,0 (28)	Doużyniec *)	-1,7	5,1 (9, 11)	-17,2 (28)
Strzyżów	—	—	—	Kołomyja	-0,6	6,8 (18)	-11,0 (28)
Bukowsko *)	1,3	12,0 (4)	-12,0 (28)	Jazłowiec *)	-0,7	7,7 (18)	-13,9 (27)
Baligród	—	—	—	Mielnica *)	-1,6	4,2 (18)	-16,0 (27)
Sianki	—	—	—	Krasne	—	—	—
Łomna	—	—	—	Borsuki	—	—	—

Wysokości opadów i liczby dni z opadem w m. lutym 1926 r.

Précipitations en mm et les nombres des jours avec précipitations au mois de Février 1926.

STACJE (POWIATY)	mm	Liczba dni	STACJE (POWIATY)	mm	Liczba dni	STACJE (POWIATY)	mm	Liczba dni
Dorzecze Wisły dolnej.			Łapiguz (zamojski)	18,0	10	Pszczelin (błoński)	32,0	8
Chojnice (chojnicki)	36,3	8	Żółkiewka (krasnostawski)	13,0	15	Chlewnia	39,0	13
Skórcz (starogardzki)	16,0	9	Wojstawice (chełmiński)	11,5	10	Skierniewice (skierniewicki)	25,4	10
Grudziądz (grudziądzki)	15,8	13	Dorzecze Wisły środkowej (strona lewa).			Studzieniec	29,0	10
Wielka Klonia (tucholski)	32,4	15	Nieszawa (nieszawski)	14,4	10	Mikołajów (brzeziński)	23,0	10
Lubawa (lubawski)	11,8	13	Olganowo (włocławski)	24,2	9	Babsk (rawski)	27,9	9
Jabłonowo (brodnicki)	12,1	9	Brześć Kuj.	25,6	16	Strzelce (kutnowski)	25,1	6
Bydgoszcz Inst. Roln. (bydg.)	27,6	13	Stary Brześć	21,7	10	Krośniewice (kutnowski)	35,1	13
Solec (bydgoski)	18,8	6	Duninów (gostyniński)	13,3	9	Leśmierz (łęczycki)	26,7	6
Toruń Kosz. Prąd. toruński)	14,5	8	Łąck (gostyniński)	13,6	7	Dorzecze Pilicy.		
Toruń Dyr. Dr. Wodn.	15,9	12	Łanięta (kutnowski)	22,1	21	Sielec (grójecki)	28,8	9
Toruń Lotnisko	13,9	7	Warszawa St. Filtrów	36,0	14	Trzylatków	26,0	4
Toruń Podgórz	14,5	8	Warszawa St. Pomp.	31,4	12	Warka	26,3	7
Chelmno (chełmiński)	16,2	8	Warszawa—Mokotów	30,4	10	Kunice (opoczyński)	20,4	7
Tczew (tczewski)	15,4	11	Kaskada (warszawski)	33,6	12	Buków (brzeziński)	23,6	8
Janowo (gniewski)	26,3	14	Marymont	30,3	10	Budziszewice (rawski)	31,0	6
Dorzecze Wisły środkowej (strona prawa).			Ursynów	33,3	6	Czarnocin (łódzki)	21,4	10
Ostrowite (rypiński)	13,2	6	Grójec (grójecki)	33,7	11	Piotrków (piotrkowski)	12,8	7
Strużewo (lipnowski)	15,4	4	Kośmin (grójecki)	26,4	7	Łęki Szlacheckie (piotrkowski)	20,7	5
Grodkowo (płocki)	19,1	14	Wólka Kozodawska (grójecki)	29,6	7	Końskie (konecki)	16,6	8
Lelice	13,6	7	Drożdzy	34,4	4	Czarnca (włoszczowski)	15,8	10
Niegłosy	15,8	11	Czersk	33,1	5	Silnica (radomskowski)	17,0	3
Gołędzinów (warszawski)	32,4	10	Radom (radomski)	26,5	12	Dorzecze Wisły górnej.		
Warszawa-Praga	32,0	12	Szydłowiec (konecki)	23,3	9	Kruków (sandomierski)	23,4	10
Marcelin	26,4	4	Św. Krzyż (kielecki)	32,7	11	Przewłoka (sandomierski)	13,2	12
Rembertów	27,6	12	Denków (opatowski)	23,7	8	Gołębiów (opatowski)	13,5	10
Siennica (mińsko-mazowiecki)	28,3	8	Ślupia Stara	20,8	11	Nasiechowice (miechowski)	10,0	8
Gułów (łukowski)	20,6	3	Miłków	34,9	7	Szczepanowice	12,4	11
Sobieszyn (garwoliński)	17,1	9	Iwaniska	16,0	4	Stogniowice	16,6	8
Brzozowa	21,3	8	Zapusta	15,7	5	Skrzeszowice	20,2	8
Puławy (puławski)	13,5	11	Gołoszyce	22,3	11	Jakubowice	15,8	8
Dęblin	17,6	7	Gierczyce	20,7	9	Wierzбно	20,3	6
Zemborzyce (lubelski)	11,5	9	Iłża (iłżecki)	21,5	7	Snochowice (kielecki)	19,5	8
Czermierniki (lubartowski)	18,5	8	Garbatka (kozienicki)	19,7	8	Kielce Gimn.	21,4	8
Urzędów (janowski)	15,7	6	Dorzecze Bzury.					
Krynice (tomaszowski)	22,6	12	Gleba (Warszawska)	28,5	11			
			Mory	33,4	14			

*) Maximum i minimum według spostrzeżeń terminowych.

STACJE (POWIATY)	mm	Liczba dni	STACJE (POWIATY)	mm	Liczba dni	STACJE (POWIATY)	mm	Liczba dni
Kielce Dyr. Kolei (kielecki)	23,0	10	Szczawne (sanocki)	27,3	12	Lwów Politechnika (lwowski)	25,8	14
Bartków	24,5	11	Sanok	35,9	11	Lwów ul. Zielona	29,7	14
Ameljówka	24,8	4	Czyszki (samborski)	27,9	10	Lwów Lotnisko (lwowski)	20,3	15
Małogoszcz (jędrzejowski)	19,7	9	Laszki (jarosławski)	27,3	10	Barszczowice	28,0	9
Jędrzejów	16,5	10	Przeworsk (przeworski)	25,2	14	Podhorce (złoczowski)	28,2	9
Ślupia (włoszczowski)	16,7	5	Dolne	23,5	11	Lubycza (rawski)	24,6	13
Kwasów (stopnicki)	19,0	9	Kańczuga	23,1	13			
Sielec (pińczowski)	13,4	9	Medyka (przemyski)	20,3	4			
Grodziec (będziński)	24,8	8	Kurniki (jaworowski)	27,0	10	Dorzecze Odry.		
Ząbkowice (będziński)	22,2	7	Lubaczów (lubaczowski)	32,8	11			
Sosnowiec	20,9	9	Milków (lubaczowski)	27,1	10			
Chrzanów (chrzanowski)	16,3	9	Grodzisko (łańcucki)	30,0	11	Blonie (łęczycki)	25,1	13
Krzyszowice	22,6	11	Stojańce (mościski)	32,5	16	Sucha Dolna (łęczycki)	24,7	9
Kraków (krakowski)	22,7	15	Orchowice	20,5	9	Dobre (nieszawski)	17,3	9
Mydlniki	25,9	12	Majdan Kolb. (kolbuszowski)	24,0	11	Dobre Cukr.	20,4	10
Ujazd	27,4	15	Wola (biłgorajski)	18,8	9	Kazimierz Biskupi (słupecki)	27,5	7
Skoczów (cieszyński)	37,2	11	Teodorówka	14,9	10	Popielewo	17,3	7
Brenna	49,3	12	Józefów	22,4	13	Jabłonka	14,2	4
Hermanice	40,2	11				Kalisz (kaliski)	35,4	16
Oświęcim (oświęcimski)	27,6	13				Stawiszyn	38,9	10
Żywiec (żywiecki)	45,3	11	Dorzecze Narwi.			Złotniki Wielkie	31,1	6
Lodygowice (żywiecki)	54,8	14				Zbiersk	23,2	5
Pewel Mała (żywiecki)	46,7	12	Krasnosielec (makowski)	28,6	14	Niemysłów (turecki)	24,7	7
Zadziele	43,7	11	Wierzbowo (łomżyński)	17,1	8	Zdrojki (turecki)	29,2	6
Koszarawa	53,9	10	Kolno (kolneński)	18,9	13	Popów	21,7	8
Korbielów	54,3	14	Kisielnica (kolneński)	17,1	12	Ślesin (koniński)	26,1	10
Sucha	50,7	12	Grajewo (szczuciński)	19,5	10	Gosławice	30,5	8
Porąbka (bielski)	46,1	16	Kapice	14,9	13	Kościelec (kolski)	20,4	8
Kęty	35,1	14	Krzyżewo (wysoko-maz.)	21,8	7	Braszewice (sieradzki)	30,9	7
Andrychów (wadowicki)	38,8	17	Dobki	17,7	12	Czartorja	37,0	9
Wadowice (wadowicki)	29,0	10	Ostrołęka (ostrołęcki)	14,2	6	Wola Łobudzka (sieradzki)	29,7	8
Osielec (makowski)	51,9	13	Kruszewo (ostrołęcki)	13,3	9	Zduńska Wola	38,1	8
Budzów	47,3	10	Myszyniec	8,3	4	Sokolniki (wieluński)	30,1	10
Wieliczka (wielicki)	22,8	14	Sokółka (sokólski)	28,7	5	Dziadaki (wieluński)	27,6	6
Dobczyce	30,7	15	Słojka (sokólski)	26,3	11	Cisowa	24,0	9
Rochnia p. S. (bocheński)	28,1	11	Bielsk (bielski)	16,7	12	Piorunów (łaski)	33,3	8
Bochnia Gimn.	30,7	11	Długi Borek (bielski)	18,6	6	Sędziejowice	21,9	7
Trzciana	27,0	14	Białystok Sem. (białostocki)	16,0	8	Mogilno	27,3	4
Lipnica Murowana	31,4	6	Białystok Zwierzyniec	11,0	8	Widawa	21,2	4
Grodkowice (bocheński)	34,1	13	Supraśl	25,2	11	Szczerców	25,2	9
Zakliczyn (brzeski)	20,1	12	Zabiele	16,1	11	Bujny (piotrkowski)	21,0	6
Brzesko	20,1	12	Białowieża (białowiecki)	25,1	15	Radomsko (radomski)	20,0	6
Tarnów (tarnowski)	19,7	12	Augustów (augustowski)	28,3	12	Łódź (łódzki)	28,7	12
Grybów (grybowski)	35,0	10	Białobrzegi	21,0	7	Częstochowa (częstochowski)	20,7	8
Gródek	29,9	8				Kościelec	20,3	9
Krynica (nowo-sądecki)	37,7	13				Herby	36,2	7
Tylicz	30,0	12	Dorzecze Bugu.			Małusy Wielkie	26,8	6
Nowy Sącz	31,4	13				Złoty Potok	17,5	2
Łabowa	45,5	12				Zawiercie (będziński)	19,4	13
Świnarsko	13,6	7	Golotczyzna (ciechanowski)	17,9	9	Woźniki (lubliński)	46,0	10
Barcice	21,0	7	Klice	16,7	8	Rybnik (rybnicki)	25,4	8
Raba Wyżna (myślenicki)	34,5	7	Opatowiec (płocki)	16,2	8	Cieszyn Szk. Roln. (cieszyński)	39,3	16
Białka (nowotarcki)	39,8	10	Poświętne (płoński)	15,0	11	Cieszyn p. Sch.	38,5	9
Poronin	31,7	16	Joniec	21,6	11	Istebna	64,1	11
Zakopane	41,3	16	Serock (pultuski)	27,2	8	Biskupice (ostrzeszowski)	34,0	9
Zazadnia	42,0	14	Konary	21,0	8	Poznań (poznański)	29,7	13
Czarny Dunajec	28,8	12	Grabnik	20,7	11	Ławica	27,5	9
Klikuszowa	48,9	13	Łysów (konstantynowski)	19,6	6	Bolechowo	26,9	3
Kościelisko	45,4	15	Maliszewa Nowa (sokołowski)	16,2	7	Sobotą	20,0	3
Kuźnice	52,3	14	Wojciechy (wysoko-maz.)	13,5	8	Biedrusko	28,5	13
Jasło (jasielski)	30,0	10	Wysokie Mazow.	15,8	12	Janikowo (inowrocławski)	16,7	11
Opiny	37,6	12	Międzyrzec (radzyński)	11,2	7	Kościan (kościański)	34,3	9
Brzyszczyki	23,3	8	Biała Podlaska (białski)	14,7	14	Sękowo (szamotuński)	36,0	8
Libusza (gorlicki)	22,9	9	Dołubów (białski)	15,5	7	Pniewy	27,4	11
Frysztak (brzozowski)	34,8	7	Piesza Wola (włodawski)	11,1	8	Zajączkowo	34,4	11
Izdebki	27,4	10	Liw (węgrowski)	21,8	15	Wągrowiec (wągrowiecki)	27,2	10
Giógów (rzeszowski)	29,1	12	Stara Wieś (siedlecki)	22,0	8	Zbietka	34,0	7
Miłocin	23,1	11	Kolpin (brzeski)	12,6	5	Włoszanowo (żniński)	26,8	11
Tylawa (krośnieński)	43,8	9	Mitki	11,3	9	Rogożewo (rawicki)	38,0	9
Suchodół	29,7	11	Okszów (chełmski)	15,3	10	Bojanowo	37,4	12
Szczucin (dąbrowski)	11,4	2	Biskupice Szlacheckie (włodz.)	16,1	11	Kruchowo (mogilnicki)	22,0	9
Łabno	20,8	8	Matcze (hrubieszowski)	17,0	13	Żydowo (wrzesiński)	31,0	4
Mielec (mielecki)	21,7	6	Majdan Górny (tomaszowski)	26,5	8	Września	24,3	9
Wola Wadowska	10,3	5	Tomaszów Lub.	23,0	5	Łubowice (gnieźnieński)	30,0	7
Wielopole Skrzyńskie (rop.)	15,7	10	Poturzyn	15,4	9	Pętkowo (średzki)	36,7	11
Sianki (turczański)	16,5	5	Korczyn (sokalski)	24,8	8	Wydawy (gostyński)	30,0	9
Rzepedź (sanocki)	34,7	13	Wojślawice	25,1	6	Gostyczyna (ostrowski)	31,7	20

STACJE (POWIATY)	mm	Liczba dni	STACJE (POWIATY)	mm	Liczba dni	STACJE (POWIATY)	mm	Liczba dni
Kruszwica (strzeliński)	19,4	10	Żubrowo (grodzieński)	30,4	7	Bereza Kartuska (prużański)	24,4	6
Lenartowo "	24,0	11	Kazimierówka "	23,3	9	Wełta (łuniniecki)	35,5	9
Margonin (chocieski)	24,8	12	Mosty "	50,2	12	Małkowicze "	35,6	8
Dorzecze Prutu.			Łunna "	48,9	10	Łuniniec "	45,5	9
			Świsłocz (wołkowyski)	16,0	12	Łachwa "	21,2	9
			Koniawa (lidzki)	12,4	6	Sieliszcze (drohiczyński)	12,0	6
			Bieniakonie "	19,8	9	Wysock (stoliński)	38,3	10
			Lida "	26,8	15	Maliszewa Duża "	43,0	10
Worochta (nadworn.)	18,6	4	Wilno (wileński)	24,4	12	Sarny (sarnieński)	22,6	8
Kołomyja (kołomyjski)	15,4	12	Troki "	35,5	11	Chinocze "	40,2	6
Dorzecze Dniestru.			Pohulanka (święciański)	30,1	18	Rafałówka "	34,6	10
			Szczekowszczyzna (wilejski)	16,7	5	Bielskowola "	24,8	6
			Dworek "	34,5	10	Równe (rówieński)	31,6	8
			Dołhinów "	24,0	15	Tuńców (rówieński)	37,5	8
Wola Dobrostańska (gródecki)	32,5	14	Oszmiana (oszmiański)	22,4	10	Łuck (łucki)	25,9	7
Lubień Wielki "	49,5	9	Kozerowszczyzna (oszmiański)	14,3	15	Kiwerce "	38,3	9
Kropiwnik (drohobycki)	14,0	10	Jeremicze (nowogródzki)	33,4	12	Kołki "	31,3	6
Wołcze (turczański)	21,6	6	Ślonim (ślönimski)	32,3	12	Trościaniec (łucki)	26,7	11
Czukiew (samborski)	7,9	4	Szachnowo (ślönimski)	39,2	9	Kowel (kowieński)	17,9	14
Bolechów Zarz. Zup. Sol. (dol.)	15,9	11	Byteń "	26,4	10	Dubeczno "	16,9	9
Bolechów Szk. Leś. (doliniański)	18,6	18	zyrowice "	50,1	6	Hołoby "	30,7	5
Weldzisz "	14,5	10	Szczara "	39,9	11	Derażne (kostopolski)	33,7	8
Porohy (bohorodczański)	17,2	7	Kosów Poleski (kosowski)	23,8	6	Ostróg (ostroski)	30,4	10
Niżniów (tłumacki)	16,9	4	Dobromyśl "	21,7	12	Zdołbunów (zdołbunowski)	25,7	8
Sokołów (stryjski)	20,0	12	Krzywoszyn (kosowski)	45,0	11	Dermań "	32,7	7
Bereźnica "	23,4	11	Leśna "	41,1	12	Stary Staw (horochowski)	17,0	11
Brzeżany (brzeżański)	23,4	15	Stołpce (stołpecki)	25,0	6	Lipszczyzna (dubieński)	14,8	7
Doużyniec (nadworniański)	28,9	12	Pracyplony "	29,3	8	Krzemień (krzemieniecki)	34,1	10
Rohatyn (rohatyński)	15,8	4	Dorzecze Dżwiny.			Białokrynica "	35,7	8
Czortków (czortkowski)	16,3	10				Wiśniowiec "	22,2	10
Zaleszczyki (zaleszczycki)	18,6	7				Radziechów (radziechowski)	18,0	13
Zajłowiec (buczacki)	24,5	9				Bałtyk.		
Krasne (skałacki)	19,2	13	Brasław (brasławski)	32,7	6	Nowy Port (gdański)	13,8	15
Zatożce (zborowski)	14,8	9	Stankowicze "	23,4	7	Chałupy (pucki)	9,5	11
Trembowla (trembowelski)	14,4	10	Królewszczyzna (dziśnieński)	24,0	14	Puck "	13,2	7
Tarnopol (tarnopolski)	29,1	16	Głębokie "	—	—	Hel "	6,4	5
Brody "	30,1	10	Dorzecze Dniepru.			Karwia "	12,2	3
Zbaraż (zbaraski)	23,2	12				Oksywna "	9,6	10
Dorzecze Niemna.			Paławkowicze (nieświeski)	17,5	7	Gdynia "	7,4	3
			Przykładniki (piński)	31,1	6	Rozewie "	11,5	3
Józefatowo (augustowski)	27,3	9	Stare Konie "	23,6	11	Dąbek "	6,4	3
Płociczno (suwański)	17,0	6	Pohost Zahorodzki "	36,0	10			
Grodno (grodzieński)	21,6	14						

Przebieg pogody w m. lutym 1926 r.

Résumé climatologique du mois de Février 1926.

W pierwszych dniach lutego Polska znajdowała się na skraju wielkiego niżu barometrycznego, zajmującego całą zachodnią część Europy i miała wskutek tego pogodę dość chmurną lecz łagodną, z drobnymi tylko opadami najczęściej w postaci deszczu. Szata śnieżna będąca w zaniku zwiększyła się dopiero z dnia 3-go na 4-y, rozszerzając się od Beskidu Wschodniego ku północy niemal do Narwi. Dni następne przyniosły obfitsze opady śnieżne na wschodzie kraju, a zarazem spadek temperatury do lekkich mrozów na zachodzie, nieco silniejszych na północnym wschodzie Polski. Większy wzrost temperatury wraz z mglistością powietrza i miejscowymi deszczami nastąpił w dniu 11-ym, a odwilż pomimo krótkotrwałego wzrostu ciśnienia około dnia 15-go lutego, utrzymywała się odtąd przez czas dłuższy, gdyż niemal do końca miesiąca, a temperatura wzrastała silniej od czasu do czasu, zwłaszcza w zachodniej części kraju do kilkunastu stopni; na wschodzie nocami notowano dość częste przymrozki i sporadyczne opady śnieżne, wskutek których szata śnieżna, naogół ginąca pod wpływem ciepła, odnawiała się chwilowo. Spadek temperatury, który nastąpił w ostatnich dniach lutego zastał szatę śnieżną, niewielkiej zresztą grubości, we wschodniej części kraju i w głąbi gór. Ostatni dzień lutego przyniósł większy mróz we wschodniej części kraju (do — 18° w Pińsku) oraz wypogodzenie pod wpływem wyżu barometrycznego, leżącego nad Rosją środkową.

Wskutek stałej niemal przewagi dni nadto ciepłych odchylenie temperatury od normalnej było w lutym nader duże dla południowo-zachodniej części kraju (blisko 5°), słabsze, lecz jeszcze dość znaczne dla wschodniej (około 2°) w Małopolsce Wschodniej, jeszcze 1° w Wileńskim. Natomiast opady były niewielkie: przekraczały opad normalny jedynie w Poznańskim w środku kraju, a na pozostałych obszarach nie osiągały wysokości normalnej, odchylając się od niej mniej więcej o 20%; jedynie w dolinie ujścia Wisły niedobór opadowy był znacznie większy i osiągał 50%.

St. Bartnicka.





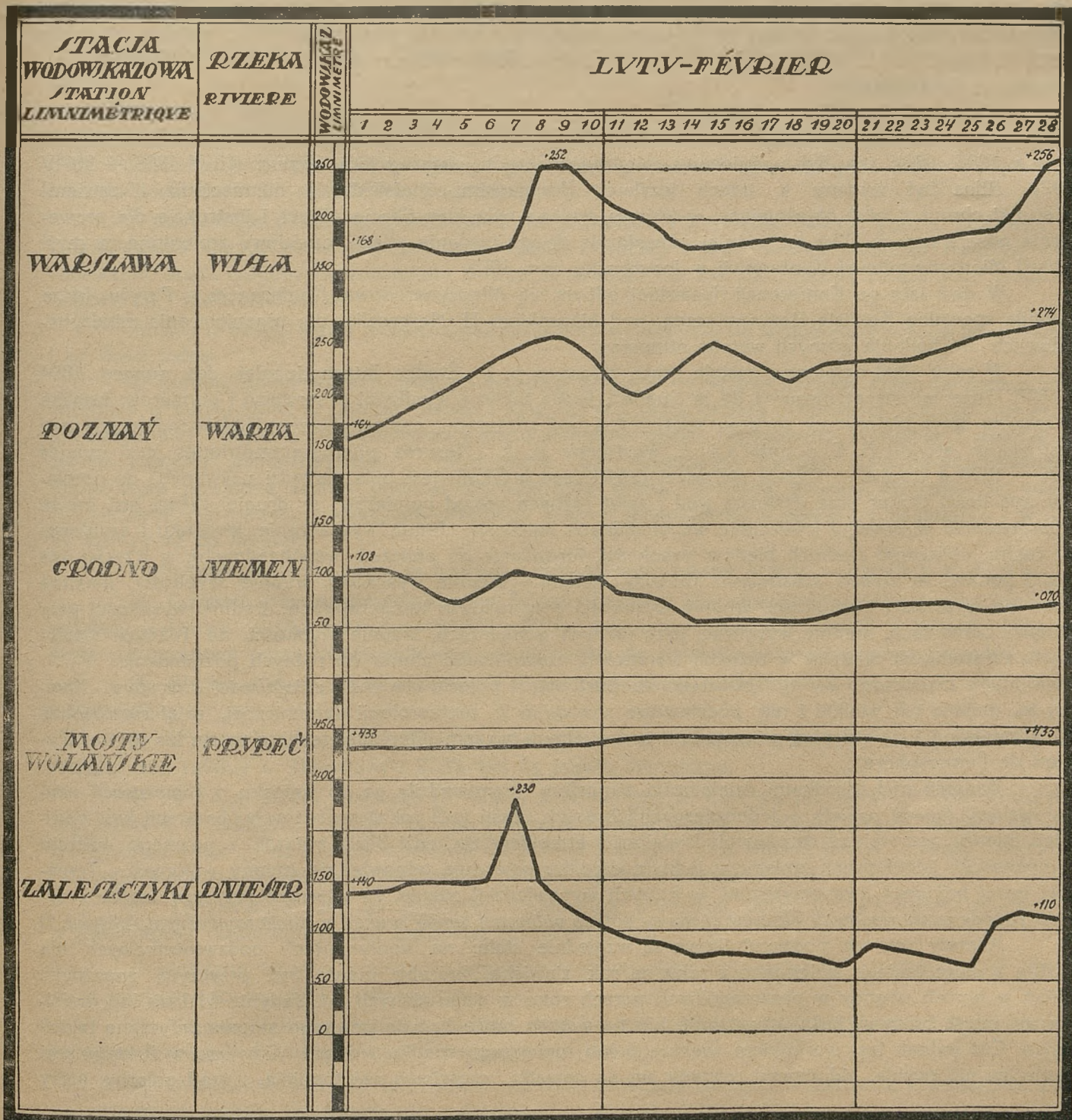


CENTRALNE BIURO HYDROGRAFICZNE MINISTERSTWA ROB. PUBL.
ZJAWISKA LODOWENA RZEKACH RZECZPOSPOLITEJ POLSKIEJ
W LUTYM 1926R.
LES PHÉNOMÈNES DE GLACE SUR LES RIVIÈRES DE LA RÉPUBLIQUE POLONAISE EN FÉVRIER

STACJA WODOWSKAZOWA STATION LIMNIMÉTRIOYE	RZEKA RIVIÈRE	LUTY — FÉVRIER																											
		1	2	3	4	5	6	7	8	9	10	11	12	13	14	15	16	17	18	19	20	21	22	23	24	25	26	27	28
ŻYWIEC	SOŁA																												
NOWY SĄCZ	DUNAJEC								••																				••
PRZEMYŚL	SAN	—	—	—	—	—	—	—	•••••																				••
WAR SZAWA	WISŁA						—	—	—	•••••																			
TORUŃ	WISŁA	—	—	—	—	—	—	—	—	—	—	—	—	—	—	—	—	—	—	—	—	—	—	—	—	—	—	—	—
WYSZKÓW	BUG	—	—	—	—	—	—	—	—	—	—	—	—	—	—	—	—	—	—	—	—	—	—	—	—	—	—	—	••
PULTUSK	NAREW	—	—	—	—	—	—	—	—	—	—	—	—	—	—	—	—	—	—	—	—	—	—	—	—	—	—	—	—
KONIN	WARTA	—	—	—	—	—	—	—	•••••																				
STOLBCE	NIEMEN	—	—	—	—	—	—	—	—	—	—	—	—	—	—	—	—	—	—	—	—	—	—	—	—	—	—	—	—
PIŃSK	PINA	—	—	—	—	—	—	—	—	—	—	—	—	—	—	—	—	—	—	—	—	—	—	—	—	—	—	—	—
WILNO	WILJA	—	—	—	—	—	—	—	—	—	—	—	—	—	—	—	—	—	—	—	—	—	—	—	—	—	—	—	—
ZALESZCZYKI	DNIESTR	—	—	—	—	—	—	—	•••		•••••				—	—	—	—	—	—	—	—	—	—	—	—	—	—	—

••••• PRYZ GLACE FLOTTANTE — — — — — KRA - GLAÇONS ————— POWŁOKA LODOWA COYCHE DE GLACE

CENTRALNE BIURO HYDROGRAFICZNE MINISTERSTWA ROBOT PUBLICZNYCH
 PRZEBIEG ZMIAN STANU WODY NA RZEKACH RZECZYPOSPOLITEJ POLSKIEJ
 W LUTYM 1926 R.
 CHANGEMENTS DU NIVEAU DE L'EAU SUR LES RIVIERES DE LA REPUBLIQUE POLONAISE EN FÉVRIER



Dalszy ciąg.

W. Niebrzydowski.

Hildebrandsson

W pracy tej Hildebrandsson zwrócił uwagę na pożytek naukowy i praktyczny podobnych badań w różnych miejscowościach. Czyniąc zadość temu postulatowi, Åkerblom wybrał dwa punkty, z których jeden był położony pośród Golfstremu, a drugi w środku kontynentu europejskiego.

W r. 1905 ukazała się drukiem w Upsali praca S. Grenander'a „Les gradients verticaux de la température dans les minima et les maxima barométriques“, zaś w r. 1908 praca Åkerbloma „Recherches sur les courants les plus bas de l'atmosphère au dessus de Paris“; w r. 1913, również w Upsali, praca H. Maurice'a „L'expédition Franco-Suédoise de sondages aériens à Kiruna 1907, 1908 et 1909“, ze wstępem Hildebrandssona.

Międzynarodowy Komitet Meteorologiczny na posiedzeniu w Upsali w r. 1894 polecił Hildebrandssonowi, Riggenbachowi i Teisserenc de Bort'owi wydanie atlasu chmur. Atlas został opracowany i wydany w r. 1896. Rok ten był poświęcony międzynarodowym obserwacjom chmur. (1 V 1896 — 30 IV 1897). Atlas był wydany w trzech językach (francuskim, angielskim i niemieckim) i zawierał wizerunki chmur i tekst objaśniający, w którym podana była klasyfikacja chmur i instrukcje dla prowadzenia obserwacji; w kilka lat później ukazało się drugie wydanie atlasu, częściowo zmienione, w myśl uchwał Międzynarodowej Konferencji w Innsbrucku w r. 1905.

W dwa lata po Konferencji Upsalskiej odbyła się Międzynarodowa Konferencja w Paryżu, która wyłoniła specjalną Komisję Aeronautyczną, pod kierunkiem H. Hergesella, dla organizowania międzynarodowych dni badania górnych warstw atmosfery.

W roku 1898 ogłoszona została praca zbiorowa p. t. „Études Internationales des nuages 1894 — 1897. Observations et mesures de la Suède“. Prócz tablic z wynikami obserwacji i pomiarów, książka ta zawiera zarys historyczny rozwoju spostrzeżeń nad chmurami, napisany przez Hildebrandssona, oraz ilustrowany artykuł A. E. Lundal'a i J. Westmana p. t. „Mesures photogrammétriques des nuages 1896 — 1897 à Upsala“. Treścią pierwszej części tego artykułu jest opis narzędzi używanych do pomiarów wysokości chmur oraz dyskusja wad i zalet różnych metod pomiarów; w drugiej części jest mowa o *opracowaniu obserwacji* (obliczanie współrzędnych kątowych chmur, wyznaczanie kierunku i szybkości ich ruchu, obliczanie średnich błędów wysokości, formularze do obliczeń współrzędnych); w trzeciej zaś części podane są *wyniki spostrzeżeń* (między innymi — średnie wysokości, średnie szybkości, maxima i minima wysokości i szybkości, średnie wysokości przy różnych temperaturach, średnie wysokości przy różnych ciśnieniach, średnie wysokości przy różnych gradjentach, średnie szybkości na różnych poziomach, częstotliwość wiatrów w różnych warstwach, częstotliwość chmur na różnych poziomach).

Jak zaznaczono wyżej, Teisserenc de Bort ustalił pojęcie *ośrodków działalności atmosfery*. Kwestją tą, mającą tak wielkie i tak podstawowe znaczenie w meteorologii dynamicznej, zajął się również Hildebrandsson i ogłosił pięć przyczynków pod ogólnym tytułem „Quelques recherches sur les centres d'action de l'atmosphère“.

Badania nad ośrodkami działalności atmosfery doprowadziły go do wniosku o *kompensacji między różnymi typami pogody* w jednoczesnych okresach czasu (pół roku) na różnych obszarach kuli ziemskiej: między wszystkimi ośrodkami działalności atmosfery zachodzi blizki związek i pewnego rodzaju kompensacja: jakiegokolwiek zmiany w jednym ośrodku powodują odpowiednie zmiany w innych. Tematowi temu poświęcił dwa przyczynki, w których wypowiedział zdanie, że *głównych przyczyn zmian w typach pogody poszczególnych okresów czasu na półkuli północnej należy szukać w stanie termicznym Arktyki*. *)

Klimaty bowiem podzwrotnikowe są względnie stałe; na kontynentach podzwrotnikowych nie można znaleźć takiego zmiennego z roku na rok zjawiska, któreby mogło być przyczyną znacznych zmian w typach pogody w poszczególnych porach roku w ciągu różnych lat. Jedynie większa lub mniejsza rozległość pokrywy śnieżnej w zimie lub na wiosnę może być do pewnego stopnia przyczyną takich zmian. Cóż jednak jest warunkiem większego lub mniejszego spadku śniegu? Gdy lato w Arktyce jest cieplejsze niż zwykle, lód morski rozpada się na kawałki, częściowo zaś topnieje, i prąd polarny, który

*) „Il semble donc probable, qu'il faut chercher la cause principale des différents types des saisons dans les états des glaces de la mer Polaire“.

w lutym i marcu zbliża się do północnego brzegu Islandji, a którego odnoga, kierując się wzdłuż wschodniego brzegu tej wyspy, dochodzi na SE aż do Morza Niemieckiego, zanieśie większe niż zwykle masy lodu ku Islandji, a wtedy większe, niż w innych latach, obszary Oceanu Atlantyckiego pokryte będą warstwą wody zimnej. Oczywiście, wpłynie to na oziębienie dolnych warstw powietrza. Wiadomo jest, że w tych wypadkach temperatura Islandji znacznie się obniża.

Badając jednocześnie stosunki elementów meteorologicznych w różnych krajach kuli ziemskiej od wschodniej strony Ameryki Północnej aż do Syberji, Hildebrandsson zauważył następujące związki:

1) Stosunki temperatury na przyłądku Północnym w *lecie* są odwrotne względem stosunków temperatury *następnej z kolei wiosny* w Islandji.

2) Temperatura powietrza w Godthaab (w południowej części zachodniego brzegu Grenlandji) *na wiosnę* ma ten sam przebieg, co i temperatura powietrza w Grimsey, na północy Islandji, — *w marcu roku poprzedniego*. Pozostaje to w związku z prądem polarnym, który niesie lód ku północnemu brzegowi Islandji, przechodzi w marcu wzdłuż Grenlandji i wchodzi do zatoki Baffina w ciągu następnej zimy.

3) Stosunki temperatury powietrza w *zimie* w Upernivik w zatoce Baffina (w środkowej części zachodniego brzegu Grenlandji) są odwrotne względem stosunków temperatury powietrza w St. Johns (New Foundland) w *w lipcu roku następnego*, gdyż woda prądu zimnego, idącego z zatoki Baffina w zimie, dochodzi latem do mielizn New-Foundlandu.

Z powyższego widać, że spostrzeżenia na przyłądku Północnym dawały pewną podstawę do przewidywania pogody na Islandji, zaś spostrzeżenia z Islandji dawały również poniekąd możliwość przewidywania stanu pogody na zachodnim brzegu Grenlandji, ten zaś stan pogody związany był ze stanem pogody na New-Foundlandzie.

Zmiany w temperaturze powietrza pozostają tedy w zależności od temperatury prądów oceanicznych i od ilości lodów.

W Europie północno-zachodniej na przebieg temperatury wpływa odnoga prądu polarnego, przechodząca w końcu zimy w pobliżu Islandji i dalej na SE, przez okolice Thorshavn i morze Niemieckie do Skagerraku. Oziębiona powierzchnia oceanu wywołuje niżkę temperatury [powietrza i *wyżkę lub niżkę ciśnienia barometrycznego*]. Jednocześnie na równinach Europy południowo-wschodniej temperatura powietrza szybko podnosi się, ciśnienie spada. Przebieg krzywej ciśnienia na wiosnę w Thorshavn jest odwrotny względem przebiegu krzywej jednoczesnej temperatury na północy i w środku Europy aż do Węgier.

Porównywując temperatury w Europie i Azji, Hildebrandsson wykrył następujące stosunki:

1) Przebieg krzywej temperatury na Syberji (Barnaul) jest odwrotny względem przebiegu temperatury w Upsali. Taką samą odwrotność między oceanem w okolicach Islandji a Syberją była wykryta już przedtem przez Hildebrandssona i w stosunku do ciśnienia barometrycznego i opadów.

2) W *jesieni* analogiczna odwrotność w przebiegu temperatur *daje się* zauważyć w Thorshavn i Barnaule.

3) W *zimie* (październik-marzec) krzywe opadów w Thorshavn i Barnaule mają przebiegi odwrotne, lecz zmiany w Thorshavn i Zi-Ka-Wei są prawie identyczne.

4) W *ciągu okresu zimowego* (X—III) w znacznej mierze daje się też zauważyć odwrotność między morzem w okolicach Islandji i Europą północną z jednej strony, a długim pasem, idącym od wyżu podzwrotnikowego przez Europę środkową do Syberji z drugiej. Na wiosnę jednak między Thorshavn i Europą środkową w przebiegu temperatur panuje zupełna zgodność.

5) Temperatura *lata* na przyłądku Północnym przebiega odwrotnie względem temperatury w południowej części kontynentu Europejskiego (Debreczin).

Analogiczne związki przebiegów temperatury zanotowane były przez Hildebrandssona i dla innych miejscowości na globie, mianowicie:

1) Krzywa przebiegu opadów podczas zimy na Jawie jest prawie identyczna z krzywą ciśnienia barometrycznego w Bombay w ciągu następującego lata.

2) Przeciwnie, zachodzi odwrotność pomiędzy opadami letnimi w Barnaule i Jenissejsku z jednej strony, na wyspie św. Maurycego z drugiej.

3) Zimą, od października do marca, daje się zauważyć odwrotność w przebiegu ciśnienia barometrycznego na wyspie św. Heleny i na wyspach Azorskich.

Nowe i niezmiernie ciekawe dociekania Hildebrandssona w dziedzinie kompensacji między typami pogody w różnych częściach globu zdawały się wskazywać drogę do *długoterminowych przepowiedni pogody*.

W roku następnym (1910) Hildebrandsson poraz wtóry rozważał kwestję kompensacji, *) przyczem badania swe rozszerzył na Amerykę Północną i zwrócił szczególną uwagę na kompensację między jednoczesnymi typami pogody w zimie i w lecie.

Badania poprzednie dowiodły, że temperatura morza między Islandją i Norwegją warunkuje w zimie (styczeń-luty) temperaturę powietrza na północy Europy. Nowe obliczenia stwierdziły również, że zimowe (styczeń-luty) temperatury na morzu między Islandją i Norwegją prawie zawsze są identyczne z temperaturą Europy północnej od przylądka Północnego do Hamburga. Natomiast przebieg temperatury w tejże okolicy oceanu. (Thorshavn-Bernfjord) za niewielu wyjątkami jest odwrotny względem przebiegu temperatury na południu Europy (San Fernando, Lizbona) i w Algierze.

Charakter pogody w Europie środkowej w pewnych porach uwarunkowany jest przez większy lub mniejszy rozwój régim'u północnego lub południowego, i, jak to wykazał Teisserenc de Bort, zimowy typ pogody w Europie środkowej charakteryzuje się przesunięciem i większym lub mniejszym rozwojem ośrodków działalności atmosfery — depresji islandzkiej oraz wyżów, azorskiego i syberyjskiego; gdy rozwija się pierwszy z nich, zima w Europie środkowej jest łagodna i dżdżysta, gdy rozwija się drugi, zima jest surowa i ostra.

Takie same stosunki podczas zimy między północą a południem, jak w Europie, Hildebrandsson znalazł również w Ameryce północnej: przebieg krzywych temperatur zimowych północnej części kontynentu amerykańskiego jest odwrotny względem przebiegu temperatur jego części południowej. Porównanie wzajemne wszystkich krzywych doprowadziło Hildebrandssona do wniosku, że *ostra zima w Europie północnej odpowiada zimie łagodnej w Europie południowej i Ameryce Północnej, ostrej zaś w Stanach Zjednoczonych (na wschód od Gór Czerwonych) i w Meksyku i odwrotnie*.

W badaniach swych, jak to widzieliśmy w poprzedniej pracy, Hildebrandsson nie ograniczył się do porównania temperatur, lecz zwrócił uwagę również i na *opady*, przyczem za zimowy okres opadowy brał nie okres styczeń - luty, lecz październik - marzec. Badania poprzednie wykazały, że i pod względem opadów zachodzi odwrotność pomiędzy oceanem w okolicach Islandji i kontynentem europejskim, biorąc za opad średni ostatniego wartości średnie opadu dla Wiednia i Tryjestu, a zwłaszcza San Fernando. Badania nowsze dowiodły, że w ciągu zimy też sama odwrotność zachodzi między Europą południową i Stanami Zjednoczonymi.

W ogóle wykryte przez Hildebrandssona zależności, były słuszne zarówno w odniesieniu do opadu, jak temperatury i ciśnienia. W lecie w ośrodkach działalności atmosfery zachodzą następujące zmiany: w związku z przesunięciem się na północ równika termicznego wraz ze wszystkimi ośrodkami działalności atmosfery, depresja islandzka przesuwa się na północ i słabnie, a wpływ jej na stan pogody w Europie maleje, natomiast rozwija się wyż azorski, rozszerzając się często aż do Europy środkowej. Wskutek tego, stosunki, panujące na północy Europy, stają się zupełnie inne. Tylko północno-zachodnie brzegi Europy znajdują się wówczas pod bezpośrednim wpływem oceanu, a wpływ ten przy oddaleniu od brzegów wewnątrz kontynentu szybko maleje. W rzeczywistości temperatura lata całego obszaru Bałtyku i Niemiec Północnych, według wyników pracy Hildebrandssona, zależy od ogólnego, mniej lub więcej znacznego oziębienia w *ciągu zimy poprzedniej*, t. j. *od temperatury poprzedniej zimy na oceanie* między Islandją i Norwegją i od długości okresu, w którym powierzchnia ziemi pokryta była śniegiem.

Aby zdać sobie sprawę ze stopnia oziębienia powietrza podczas zimy w okolicach Bałtyku, Hildebrandsson przyjął za miarę ilość dni ze śniegiem w Upsali. Nieco na północ od Upsali ziemia prawie zawsze w zimie bywa pokryta śniegiem, podczas gdy w Szwecji południowej, jak również i w Niemczech, ilość dni ze śniegiem jest bardzo mała, a nawet zdarzają się zimy zupełnie bez pokrywy śnieżnej. Wobec tego, stan pokrywy śnieżnej w Upsali może służyć za miarę ochłodzenia się powietrza w okolicach Bałtyku w ciągu poprzedniej zimy. Zestawienie odpowiednich liczb wykazało Hildebrandssonowi, że liczba dni z pokrywą śnieżną zależy od mniej lub więcej niskiej temperatury w zimie w Thorshavn i Bernfjordzie i że *na całym obszarze bałtyckim temperatura lata zależy od temperatury poprzedniej zimy w okolicach Islandji*. Na południu Europy temperatura zarówno lata jak i zimy ma przebieg odwrotny względem temperatury na obszarze bałtyckim, a więc i temperatury poprzedniej zimy w Thor-

*) Kungl. Svenska Vetenskapsakademiens Handligar Bond 45. Nr. 11.

shavn i Bernfjordzie, t. j. w Islandji i okolicach przyległych. — Strefa przejściowa, wówczas mniej szeroka, przechodzi przez Greenwich-Wiedeń-Debreczin.

Przechodząc do Ameryki Północnej, Hildebrandsson stwierdził, że zarówno w zimie, jak i w lecie zachodzi tu ta sama odwrotność między częścią północną i południową kraju, jaką widzieliśmy w Europie, przyczem strefa przejściowa w lecie również przesuwają się nieco na północ. Wybrzeże wschodniej Ameryki znajduje się pod wpływem prądu polarnego, który niesie lód zatoki Baffina ku południowi. Temperatura powietrza w zimie w Uperniviku jest odwrotna względem temperatury New-Foundlandu w lipcu następnego roku.

Co się tyczy Syberji, to w lecie przebieg temperatury w Barnaule i Jenissejsku jest odwrotny względem przebiegu na północy Europy w Thorshavn i Bernfjordzie w poprzednią zimę. W ten to sposób według dociekań Hildebrandssona *w lecie zachodzi odwrotność między Europą północną z jednej strony a Europą południową i Syberją z drugiej*. Jednakże w połowie zimy wpływ oceanu w okolicach Thorshavn rozpościera się często aż do Barnaulu, a nawet do Jenissejska.

Co się tyczy półkuli południowej, to chociaż tu brakowało dostatecznej ilości punktów obserwacyjnych, jednakże Hildebrandsson zdołał wykryć, że analogiczna odwrotność krzywych temperatury między strefą umiarkowaną a strefą podzwrotnikową zachodzi i tam, — przynajmniej stwierdzają to obserwacje z Ameryki Południowej.

Według Hildebrandssona typy okresowe pogody na półkuli południowej rozchodzą się z zachodu na wschód w postaci fal.

Badając przebieg krzywych, Hildebrandsson zauważył jednak pewne niedokładności, nieprawidłowości, czasem nawet sprzeczności. Wykonane przez niego badania dodatkowe wykazały, że istnieją jakby wahania wyższego rzędu, które mają tendencję maskowania zależności, uwidocznionych za pomocą diagramów. Przyczyna takich wahań może być tylko natury kosmicznej, to też Hildebrandsson szuka jej w ilości plam słonecznych. Badania, prowadzone przez niego w tym kierunku wykazały, że wahania energii cieplnej wypromieniowanej przez słońce, wywiera znaczny wpływ na jednoczesne typy pogody w poszczególnych porach roku w różnych obszarach powierzchni ziemi.

Zatrzymaliśmy się na tej pracy Hildebrandssona nieco dłużej, gdyż jest ona ciekawą i niezmiernie ważną dla wyjaśnienia klimatycznych warunków Europy. Kwestją tą niezależnie od Hildebrandssona zajmowali się O. Pettersson, Meinardus, Leshaft.

Do badań górnych warstw atmosfery, opartych dotąd, dzięki energii Hildebrandssona, przeważnie na obserwacjach chmur, stopniowo zaczęto stosować inne środki, a mianowicie balony i latawce, te ostatnie głównie w Ameryce. Projekt używania balonów-sond był podany przez pułkownika Renard'a, lecz po raz pierwszy urzeczywistniony został przez Hermite'a i Besançona w r. 1892. Udoskonalenie techniki budowy latawców pozwoliło podnosić je na znaczne wysokości (powyżej 5000 metrów). Obydwa te środki badania atmosfery okazały się bardzo pożyteczne i zaczęły się szybko rozpowszechniać. W początku r. 1901 Teisserenc de Bort wystąpił z projektem zorganizowania tymczasowej stacji międzynarodowej do badań wyższych warstw atmosfery w państwach skandynawskich, leżących na drodze depresyj. Hildebrandsson w Szwecji, a Paulsen w Danji gorąco podtrzymywali ten projekt, i przy ich wpływowej pomocy była założona w czerwcu r. 1902 stacja franko-skandynawska dla sondowań powietrza w Haldzie (Danja), gdzie sondowania te dokonywały się w ciągu dnia i nocy w latach 1902 — 1903. Wyniki spostrzeżeń były ogłoszone in extenso w „Travaux de la Station Franco-Scandinave des sondages aériens. Hildebrandsson brał żywy udział w całej tej sprawie, a w r. 1903 ogłosił w języku szwedzkim „Station franco-scandinave des sondages aériens' vid Hald på Jutland“.

Należy zaznaczyć, że obserwacje nad chmurami, dokonane w Haldzie, i uzupełnione obserwacjami stacji aeronautycznej w Berlinie, posłużyły jako materiał do pracy S. Grenandera p. t. „Les gradients verticaux de la température dans les minima et les maxima barométriques“, ogłoszonej w Upsali w r. 1905

W roku 1903 w Upsali ukazała się drukiem część I bardzo ważnego sprawozdania opracowanego przez Hildebrandssona dla Stałego Międzynarodowego Komitetu Meteorologicznego: „Rapport sur les observations internationales de nuages au Comité International Météorologique“. *) W roku 1905 ogłoszona została druga część sprawozdania. Niezmiernie cenna ta praca weszła całkowicie w drugi tom „Les Bases de la Météorologie Dynamique“ jako siódmy i ósmy rozdział tego dzieła. Na tej pracy zatrzymamy się nieco dłużej.

*) Tłumaczenie angielskie podane jest w Quarterly Journal of the Roy. Met. Soc. X 1904.

Sprawozdanie składa się z dwóch rozdziałów: 1) Wysokości i szybkości chmur. 2) Krążenie powietrza naokoło depresyj i wyżów barometrycznych i tworzenie się satellitów.

Poniżej przytaczamy wyniki obserwacji chmur podane w tem sprawozdaniu.

A. Wysokości i szybkości chmur.

1. Wysokości średnie.

1. Wysokości chmur, zwłaszcza chmur górnych, zmniejszają się od równika ku biegunom.
2. W strefach umiarkowanych wysokości chmur są większe w lecie, niż w zimie.

2. Maxima i minima wysokości.

Maxima i minima wysokości w różnych serjach pomiarów nawet z jednego i tego samego punktu różnią się między sobą. Wydaje się jednak, że podobnie jak wysokości średnie — zmniejszają się one od równika w kierunku ku biegunom. Zdaje się również, że wysokości chmur zmieniają się z roku na rok.

3. Wysokości średnie przy różnych temperaturach.

Wysokości chmur górnych i dolnych zwiększają się wraz z temperaturą powietrza na powierzchni ziemi. Zależność taka dla chmur poziomym średniego nie istnieje.

4. Wysokości średnie przy różnych ciśnieniach.

Wysokości chmur górnych i dolnych zwiększają się wraz z ciśnieniem powietrza aż do pewnego (średniego) ciśnienia, zmniejszają się, gdy ciśnienie dalej wzrasta poza tę wartość. Podobna zależność dla chmur poziomym średniego nie istnieje.

5. Średnie szybkości poziome, ich maxima i minima.

a) Szybkości wiatru na każdej wysokości są większe w zimie, niż w lecie; b) szybkość zwiększa się w kierunku na południe przynajmniej do szerokości około 40° ; c) średnio jednak ta sama masa powietrza przenosi się na każdej wysokości i ilość powietrza, przemieszczanego przez wiatr, w strefie umiarkowanej jest stała na wszystkich wysokościach; d) średnia szybkość wiatru zmienia się z wysokością w stosunku odwrotnym do gęstości powietrza.

6. Zmiany dobowe wysokości chmur.

W tej sprawie otrzymano różne wyniki na różnych stacjach.

7. Średnie wysokości przy różnych kierunkach gradientów i wiatrów.

Wyniki nie są pewne: zmiany bardzo małe i bardzo nieprawidłowe na różnych stacjach. Zdaje się, że wysokości bywają większe przy gradjencie, skierowanym na NW, i mniejsze przy gradjencie skierowanym na S.

8. Częstotliwość chmur w różnych piętrach atmosfery.

Częstotliwość chmur niezależnie od kształtu nie jest jednakowa na wszystkich wysokościach: w niektórych warstwach kondensacja pary odbywa się częściej niż w innych. Według badań Süring'a warstwy z maximum częstotliwości są to warstwy na wysokościach: 500, 2000, 4300, 6500, 8300 i 9900 metrów.

9. Pionowe szybkości chmur.

W tej kwestji obserwacje nie dały wyników zadawalających.

B. Krążenia powietrza naokoło depresyj i wyżów barometrycznych i tworzenie się satellitów.

1. Powietrze przy powierzchni ziemi odbywa ruch spiralny wewnątrz w depresjach i zewnątrz w wyżach.

2. Prądy powietrza, w których unoszą się chmury dolne, przesuwały się w kierunku prawie prostopadłym do kierunku gradientu, czyli kierunku stycznym do izobar. W części przedniej depresji, w wypadku gdy gradient skierowany jest ku zachodowi, kąt jego w kierunku chmur jest większy od 90° , powietrze więc oddala się od ośrodka depresji.

3. Prądy górne powietrza oddalają się od obszarów depresji, by zgromadzić się nad obszarami, gdzie ciśnienie powietrza jest wysokie. Ten ruch odśrodkowy, słaby w strefie wewnętrznej, wzrasta na

krańcach depresyj i jeszcze więcej nad obszarami wyżów. Ruch ten również jest znacznie większy przy gradientach, skierowanych na WSW lub S, niż przy gradientach, skierowanych w strony przeciwne, t. j. że rozciąganie się powietrza w kierunku od środka ku obwodowi depresji w warstwach górnych atmosfery silniejsze jest na przodzie depresji, niż w części tylnej, gdzie kierunek cirrusów zbliża się do kierunku stycznego względem izobar. Nad obszarami wyżów w górnych warstwach atmosfery przyływ powietrza również jest znacznie większy po stronie zachodniej niż po stronie przeciwległej.

Zachodzi teraz pytanie, jak wysoko w górę sięgają perturbacje atmosferyczne?

Otóż na podstawie obserwacji jednego „roku chmur“ wyjaśniło się, że wysokość depresyj i wyżów w jednym i tym samym obszarze może być bardzo różna, zdarzają się bowiem wypadki, że ruch cirrusów zupełnie nie ulega wpływom zmian ciśnienia powietrza przy powierzchni ziemi. Te obserwacje „roku chmur“ dały następujące wyniki:

1. Chmury górne nie zawsze bywają dotknięte perturbacjami przy powierzchni ziemi.

2. Wiry powietrza są niekiedy bardzo wysokie i sięgają ponad poziom cirrusów, które wówczas krążą naokoło nich równoległe do izobar. Zdarzają się nawet wypadki, że depresje drugorzędne, na znacznym obszarze zajęтым przez depresję główną, przewyższają poziom cirrusów.

3. Zazwyczaj jednak, jak to stwierdził Hildebrandsson i Ley, depresje drugorzędne (satellity) mają nieznaczną wysokość i nie wywierają wpływu na kierunek prądów górnych, zwłaszcza gdy wytworzone są *na południe od wielkich depresyj*. Otóż większość naszych wielkich depresyj można właśnie uważać jakgdyby za satelity południowe wielkiego wiru, polarnego; to też na północ od swych ośrodków nie są one, zdaje się, „zamknięte“, przynajmniej poczynając od pewnej wysokości. Natomiast depresje, które suną *na południe od wyżów*, mają wysokość znacznie większą nawet w swych częściach północnych i północno-zachodnich.

Spostrzeżenia nad chmurami naprowadziły na myśl, że prądy górne, wychodzące z depresyj i wyżów barometrycznych, unoszone są ku wschodowi przez prąd wiru polarnego. Potwierdziły one również główne wyniki badań Teisserenc de Bort'a, Ley'a i Hildebrandssona, mianowicie zbieżność prądów powietrza ku ośrodkowi depresji przy powierzchni ziemi oraz ich rozbieżność w górnych warstwach atmosfery; ruch od S, lub SW górnych prądów na tyłach depresji; wreszcie to, że krążenie dokoła ośrodka depresji nie sięga zbyt wysoko, oraz że depresje zdają się nie być „zamknięte“ od północy, wskutek czego balony spadają na N i NW, lecz nie na W i SW od miejsca ich wlotu.

4. Badanie prądów górnych *w obszarach pomiędzy depresjami* („Klinach“ Abercromby'ego) wykazało, że tu cirrusy najczęściej idą od NW, oraz że nadchodząca nowa depresja bywa wskazywana na dole przez chorągiewkę wcześniej niż w górze przez chmury, w samym obszarze międzyliniowym zachodzi (bardzo prawdopodobnie) zstępujący ruch powietrza.

5. Obserwacje *temperatury* i w różnych warunkach atmosferycznych, rozpatrywane według różnych kwadrantów depresyj i wyżów, dały wyniki następujące; *)

a) *Zimą*, aż do poziomu 6 km., obszar środkowy depresyj zimniejszy bywa od obszaru środkowego wyżów, obszar krzywy depresyj, przeciwnie, do wysokości 4—5 km bywa o wiele cieplejszy od obszaru brzegowego wyżów, podczas gdy obszar pośredni tu i tam ma mniej więcej tę samą temperaturę,

b) *Na wiosnę*, ów obszar pośredni w depresjach bywa naogół zimniejszy niż w wyżach; co się zaś tyczy ośrodków, to stosunek temperatur wyżów i niżów pozostał tu niewyznaczony, z powodu braku danych.

Z badań Grenander'a, **) który obliczał *średnie zmiany temperatury zależnie od wysokości w różnych kwadrantach depresyj i wyżów*, wynika, że najszybszy spadek temperatury daje się zaobserwować na zachód od ośrodka depresji, najmniejszy—na wschód; w wyżach odwrotnie. Ogólna zniżka temperatury wraz z wysokością w depresjach bywa większa niż w wyżach. Wskutek dynamicznego ogrzewania spadającego w wyżach powietrza, prawie zawsze obserwuje się tu *inwersja* temperatury, głównie na zachód od ośrodka.

6. Stałe prądy zachodnie, panujące w najwyższych warstwach atmosfery, wywierają znaczny wpływ na górne prądy antycyklonów. Te ostatnie skierowane są prawie dośrodkowo w tylnej części wyżu, natomiast w przedniej części, na wschód od ośrodka, są one więcej równoległe do izobar. W ten

*) Wyniki podane na podstawie prac Teisserenc de Bort'a (Annales de Bureau Central Météorologique 1920, Résultats principaux des lancers des ballons—sonds à l'observatoire de météorologie dynamique. Procès verbaux et mémoires du Congrès Internationale de Météorologie. Paris 1900.

**) Les gradients verticaux de la température dans les minima et les maxima barométriques K. Wat. Akad. Arkiv 1905.

sposób wyż barometryczny „odżywia się“ z zachodu. Tu górne prądy zachodnie obserwowane są na różnych wysokościach; zdarzają się wypadki, że nie tylko górne i pośredkowe, lecz i dolne prądy skierowane są wewnątrz ku ośrodkowi wyżu. Wogóle jednak wysokość wyżów barometrycznych jest większa, niż wysokość depresyj, zwłaszcza w szerokościach więcej południowych. Jak było powiedziane wyżej, oś pionowa wiru sięga najwyżej w Szwecji i Anglii, t. j. wzdłuż drogi depresji. Wyż barometryczny wydaje się głównym regulatorem depresji, kierującym w pewnej mierze jej ruchami.

7. *Uwagi o tworzeniu się i przesuwaniu depresyj.* Pogląd, że droga depresji uwarunkowana jest wyżem barometrycznym, wypowiedziany był przez Mohna już w roku 1868, a 1876 r. Cl. Ley wykazał, że ośrodek depresji posuwa się zazwyczaj prawie pod prostym kątem do kierunku, w którym izobary są najbardziej zgęszczone, t. j. do kierunku największych gradientów. Jednakże, gdy największe gradienty leżą na północ od ośrodka depresji, wtedy depresja staje się najwcześniej nieruchomą, w rzadkich wypadkach posuwając się nieco na zachód. Widać stąd, mówi Ley, że depresja posuwa się wzdłuż wypadkowej dwóch sił niezależnych; siły gradientu, zmuszającej depresję do przesuwania się pod prostym kątem do kierunku, w którym izobary są najwięcej zgęszczone, oraz drugiej siły niewiadomej, która zmusza depresję do przesuwania się na wschód, lub północny wschód. Jakaż to jest siła? Aczkolwiek Hildebrandsson opiera się zazwyczaj jedynie na faktach i obserwacjach i unika przedwczesnych teorii i hipotez, tym razem jednak wypowiada hipotezę, opartą na niedostatecznym, niestety, materiale. Mianowicie, szuka tej siły w wielkim wirze polarnym, który krąży od zachodu na wschód, i którego istnienie było przewidywane teoretycznie i stwierdzone na mapach izobar dla wysokości kilku tysięcy metrów, i ostatecznie udowodnione przez obserwacje chmur,

„Przypuśćmy, mówi Hildebrandsson, że wskutek jakichkolwiek przyczyn utworzył się ogromny antycyklon nad dostatecznie wielkim obszarem powierzchni ziemi. Wyniosły ten wir przedstawia jakby wyspę w ogólnym prądzie powietrza, który wskutek tego będzie odchylany od swojej drogi pierwotnej. Na północnej stronie antycyklonu wszakże wieją wiatry zachodnie, a na południowej stronie — wschodnie. Oczywiście jest, że wielki prąd powietrza musi być odchylany przeważnie na północ od antycyklonu i w rzadkich wypadkach na południe, gdzie wschodnie wiatry przegradzają mu drogę. Jeżeli w tym wielkim prądzie znajdują się wiry cykloniczne (depresje), będą one razem z głównym prądem uniesione ku północy od antycyklonu. Nie dość na tem. Wielki prąd zachodni musi być nieco wstrzymany przez przeszkodę, jaką stanowi owa wyspa atmosferyczna. Lecz wystarczy, jeśli jakaśkolwiek część prądu będzie miała szybkość większą niż masy powietrza na przodzie, ażeby nadmiar energii tej części przeszedł w ruch wirowy: będzie to, jak gdyby owa część natrafiła na mur. A więc w omawianym wypadku, wiry te tworzą się oczywiście w wielkim prądzie zachodnim. Lecz również jest rzeczą oczywistą, że wiry będą różne na północnej i południowej stronie antycyklonu. Na stroine północnej (N, NW, NE) wyżu kierunki wiatrów są mniej więcej zgodne z kierunkiem prądu ogólnego; opór jest tu najmniejszy, i wiry, które się tu wytwarzają, są u góry otwarte ku północy. Przeciwnie, część prądu ogólnego, idąca na południe od wyżu barometrycznego, napotyka znacznie większy opór wiatrów wschodnich, które zagradzają jej drogę, a niekiedy odpychają ją na zachód; muszą się więc tu tworzyć wiry prawie ustalone (stacjonarne), a ruch wirowy sięga w górę do znacznej wysokości, i nawet cirrusy ruchowi temu ulegają“.

Aczkolwiek depresje mogą być i innego pochodzenia, jednakże wydaje się Hildebrandssonowi prawdopodobnym, że przynajmniej większość depresyj tworzy się jako satelity wiru polarnego w wielkich prądach powietrznych, — niekoniecznie w łonie tych prądów, raczej u samej powierzchni ziemi.

Powyżej streszczoną pracę Hildebrandsson kończy w sposób następujący: „Badania chmur nie są w stanie dać nam zupełnego rozwiązania największych zadań meteorologii, dały nam one wszakże ogólny zarys ruchów atmosfery. Z jednej strony znaleźliśmy, jak odbywa się ogólne krążenie atmosfery, z drugiej zaś badania te wyświectliły krążenie powietrza dokoła depresyj i wyżów barometrycznych. Dały nam one również wiadomości o stosunkach, jakie istnieją między wielkimi prądami ogólnej cyrkulacji atmosferycznej i perturbacjami u powierzchni ziemi, które niekiedy i na pewnych terenach sięgają poziomu cirrusów, a wogóle, zwłaszcza w obszarach więcej południowych, dochodzą do wysokości chmur poziomu średniego“.

W r. 1915 Hildebrandsson ogłosił pracę p. t. „Sur le prétendu changement“. W pracy tej autor wypowiada konkluzję następującą: „Badania nasze doprowadziły do wniosku, że każdy klimat ulega zmianom o dłuższej lub krótszej okresowości, niemożliwą jednak jest rzeczą dowieść, że klimat Europy od czasów historycznych pogorszył się lub polepszył“.

Trudnoby tu mówić obszerniej o innych pracach Hildebrandssona, zatrzymamy się jednak dłużej nad jedną z najważniejszych i najpiękniejszych. Jest to obszerne dzieło dwutomowe „Les Bases de la Météorologie dynamique“, napisane wspólnie z Teisserenc de Bort'em. Praca ta ukazywała się zeszytami w ciągu kilku lat (1898 — 1905), lecz niestety nie została ukończoną. Tom pierwszy i część większa drugiego mają przeważnie charakter historyczny. Przytoczone są tu w krótkich zarysach i w porządku chronologicznym wszystkie najważniejsze prace, dotyczące różnych działów meteorologii. Podane są też wyniki obserwacji i teorie na tych wynikach oparte. Wszystkie ważniejsze wyniki badań w dziedzinie meteorologii dynamicznej, osiągnięte w ciągu ostatnich dwóch stuleci, weszły do tej pracy. Jest ona tembardziej cenna, że niejedna z owych prac dzisiaj jest już zupełnie wyczerpaną. Do tekstu załączone są liczne rysunki, tablice i mapy, odbite fotograficznie z oryginałów „Les Bases“, — to stała księga podręczna pracowników w dziedzinie meteorologii. Jest to dzieło, bez którego żaden meteorolog obejść się nie może.

Ph. Wehrle w swoim nekrologu o Hildebrandsonie *) wskazuje na wielką prostotę i ścisłą logikę, cechujące prace wielkiego meteorologa. Wychodził on z tego założenia, mówi Wehrle, że dla wyjaśnienia mechanizmu zjawisk atmosferycznych, koniecznym jest wyjaśnienie ruchów wolnej atmosfery drogą bezpośrednich spostrzeżeń. Jedyne środkiem naówczas były obserwacje chmur. Stąd powstają jego badania nad kierunkiem chmur górnych i dolnych, które ujawniły ruch wstępujący powietrza w cyklonach i zstępujący w antycyklonach. Rzeby ulepszyć wyniki, otrzymywane przy stosowaniu tej metody, dążył on do ściślejszego wyznaczania wysokości, niż to można było osiągnąć przez zwykły podział na chmury górne i dolne. Zanim jednak miał przystąpić do wyznaczania wysokości średnich poszczególnych rodzajów chmur, należało nasamprzód ustalić i ujednostajnić definicje każdego z tych rodzajów, a do tego było jeszcze daleko. To też Hildebrandsson napisał wkrótce kilka prac poświęconych klasyfikacji chmur. W pracach tych po raz pierwszy przy badaniach chmur systematycznie stosowana była fotografia. To zastosowanie fotografii umożliwiło wydanie w r. 1896 międzynarodowego atlasu chmur. Po uzgodnieniu klasyfikacji, Hildebrandsson mógł przejść do zorganizowania pomiarów wysokości, kierunku i szybkości ruchów chmur, co było zadaniem międzynarodowego roku 1896 — 97 spostrzeżeń nad chmurami, którego wyniki były rozpatrzone pod jego kierunkiem i stanowią podstawę współczesnej nauki o chmurach. W tym też czasie rozpowszechnienie obserwacji nad górnymi chmurami w sieci wszechświatowej pozwoliło mu otrzymać pierwszy, na faktach oparty, zarys ogólnej cyrkulacji atmosfery. Badania nad ruchami powietrza skłoniły go do zainteresowania się techniką sondowań powietrza za pomocą latawców Rotcha i balonów sond Teisserenc de Bort'a, I rzeczywiście wspólnie z Teisserenc de Bortem zorganizował on szereg sondowań w Danii (1902) i w Japonii (1907) i nakreślił program ekspedycji dla badań atmosfery nad Atlantykiem, którą organizował książę Monako, Teisserenc de Bort i Rotch. Z drugiej zaś strony, poszukiwania nad ogólną cyrkulacją atmosfery doprowadziły go do oparcia się na koncepcji Teisserenc de Borta o ośrodkach działalności atmosfery. Uzupełnił ją jeszcze bardzo ważnymi uwagami o ewolucji korelatywnej tych ośrodków, **) stanowiącymi źródło licznych prac współczesnych.

W przytoczonych wyżej słowach Wehrle'go doskonale jest wyjaśniony związek i logiczne następstwo głównych prac Hildebrandssona. W pracach swych Hildebrandsson opierał się na spostrzeżeniach i analizie zjawisk, a drogą dla otrzymania wniosków były metody zarówno statystyczne, jak i synoptyczne, „Nons nous sommes occupées depuis longtemps au moyen des cartes synoptiques ou d'observations directes de l'étude des phénomènes dont l'atmosphère nous offre le spectacle“.

Największy wpływ, jaki wywarł on na rozwój meteorologii dynamicznej, mówi Wehrle spowodowany został rehabilitowaniem przezeń chmury, tego tak ważnego przez tak długi czas zaniedbanego elementu meteorologicznego; w ten sposób starał się on skierować dotychczasowe poszukiwania meteorologów, bardzo często zbaczające na manowce przedwczesnych teorii matematycznych i przedwczesnych tłumaczeń fizycznych, do najpierwszego i najważniejszego zadania: do obserwacji faktów i do ich koordynacji. Oto słowa samego Hildebrandssona: „Ici, comme partout dans les sciences physiques, de voie la plus sûre est d'observer ce qui se passe dans la nature..... avant qu'il soit possible d'étudier sérieusement les causes des mouvements généraux de l'atmosphère, il faut tout d'abord et independamment de toute théorie préconçue chercher à déterminer avec précision quels sont ces mouvements et quelle en'est la nature“. A o metodzie, którą przy pewnym stopniu rozwoju nauki należy się posługiwać, dodaje jeszcze: C'est seulement par la méthode synoptique qu'on a réussi à préciser l'étude de ces lois générales qui les régissent“.

*) Revue générale des sciences pures et appliquées Nr. 20, 30 octobre 1925.

**) Quelques recherches sur les centres d'action de l'atmosphère 1897 — 1914.

Teorji, w ścisłym znaczeniu tego słowa w pracach Hildebrandssona jest mało, i to jest zupełnie zrozumiałe, jeżeli weźmiemy pod uwagę przytoczone wyżej jego poglądy na początkowe badania meteorologiczne. Ta metodyczna orjentacja Hildebrandssona widoczna jest w pewnych ustępach przedmowy do dzieła „Les Bases de la Météorologie dynamique“. Przytaczamy je tutaj: „Nous avons donné la plus large part aux faits observés et aux résultats positifs, déduits de la discussion des observations, parce que ce sont les assises qui resteront debout quelques soient les variations des théories qui groupent les faits suivant une perspective voulue. Comme l'exposé des recherches purement théorique n'entre pas dans le cadre de ce livre, nous nous sommes bornés à rappeler les principales vues d'ensemble des hommes qui ont fait école. Ces vues et l'interprétation des faits observés ont orienté l'esprit des chercheurs dans des voies déterminées et les efforts, faits pour les attaquer ou les défendre, ont conduit à un examen plus précis des phénomènes, d'où sont résultés de grands progrès pour la science de plupart de ces conceptions renferment une part de vérité que l'expérience a consacrée et qui se retrouve dans les théories aujourd'hui régnautes“.

Zarówno Wehrle w cytowanym już nekrologu, jak i inni uczeni wskazują jeszcze na jedną stronę w działalności Hildebrandsona. O czemby nie pomyślał, czegoby nie przedsięwziął w sprawie badania naukowego atmosfery, zawsze wprowadzał w czyn swoje pomysły najpierw w ojczyźnie a później dopiero starał się rozpowszechnić je na całym świecie. Stąd jego rola nowatora w Międzynarodowym Komitecie Meteorologicznym, która w końcu doprowadziła do wzbogacenia całej sieci światowej.

F. E. Voloshin

New Ice Pyrheliometer

The new ice pyrheliometer is based on the same principles as Bunsen's ice calorimeter; the absorbed energy is used for melting ice thus causing the decrease of the volume of ice and water.

This change of volume allows us to measure the energy, which till now was chiefly computed by a weight method. In the new ice pyrheliometer it is taken by counting the drops, attaining thus more accurateness and convenience of work.

The absorbtion pipe A covered with ice is plunged into a vessel B, filled with a mixture of water and ice and mercury, the small capillar pipe C, filled with mercury comes into the vessel D with mercury and water, plunging into the mercury. The vessel D has four small side pipes: E, F and G filled with mercury and H — with water.

The apparatus works in a following way: the small pipes E, G and H are closed, while F is open. When the ice melts the volume of the mixture of water and ice in the vessel B decreases and drops begin to flow out from the capillar tube F.

The more the energy comes into the absorbtion pipe in one unit of time, the sooner the drops begin to fall. For the usual magnitude of drops the periodes of falling between two neighbouring drops are inversely proportional to the amount of the absorbed energy. The apparatus works selfacting; in dependence from the external temperature it melts or ice is formed inside. In order to examine this selfacting process which changes very little in an hour by imperceptible variations of external temperature, it is sufficient to let through the absorbtion pipe (before the measurement) a known amount of electric current. This current is let through when the magnitude of the falling drops is known; if it is unknown it is necessary to let through two different currents.

If we supply a definite amount of energy, f. ex. 1 gram. cal. in a minute, the drops begin to fall every 160 seconds (with the precision to 0.2 of a second). The falling drops will penetrate into the capillar tube H, filled with water. Having counted 10 drops, we close the pipe F, and we open the pipe E. The flowing mercury is gathered in a small vessel and weighed. The magnitude of falling drops does not vary; according to the author's measurements it amounted 41.8 ± 0.1 mgr. independent from the temperature of the vessel D and from quickness of falling (from 40 to 200 seconds).

By this method we obtain the definitive magnitude of the drops. For one gram calory it amounts 15, 17 mgr. of mercury; as the weight of the drops was 41.8 mgr., therefore to cause one drop fall, the calorimetr must absorb 2.71 cal. gr. Measuring the different periods of time we find the absorbed energy in the unit of time.

The principal condition by the measurements with ice-calorimeter is the steadiness of the external temperature; therefore it is necessary to work in a place free from sensible variations of temperature.

F. E. Wołoszin

O nowym pyrheljometrze lodowym.

Działanie nowego pyrheljometru lodowego opiera się na tej samej zasadzie, co i kalorymetru lodowego Bunsena: absorbowana energia zużywa się na topienie lodu, przez co zmniejsza się objętość masy lodu i wody. Ta zmiana objętości jest miarą energii, którą mamy mierzyć. Dotychczas zmianę objętości mierzono głównie metodą wagową; w nowym pyrheljometrze lodowym — skutecznia się to za pomocą liczenia kropeł; przez to osiąga się większą dokładność i wygodę pracy.

Rura absorbcyjna A, okryta lodem, jest zanurzona w naczyniu B, napełnionym mieszaniną wody z lodem i rtęcią; rura włoskowata C, napełniona rtęcią, wchodzi do naczynia D z rtęcią i wodą, zanurzając się w rtęci. Naczynie D posiada cztery rurki boczne: E, F i G napełnione rtęcią i H — wodą.

Przyrząd działa w następujący sposób: rurki F, G i H są zamknięte, E — otwarta. Przy topieniu lodu zmniejsza się objętość mieszaniny wody i lodu w naczyniu B i z rurki włoskowatej E zaczynają wypływać krople. Im więcej energii dostaje się do rury absorbcyjnej w ciągu jednostki czasu, tem szybciej padają

krople; dla dostatecznie stałej wielkości kropeł, czasy upływające między spadaniem dwóch sąsiednich kropeł będą odwrotnie proporcjonalne do ilości pochłoniętej energii. Przyrząd działa tu samorzutnie; zależnie od temperatury zewnętrznej tworzy się lub topnieje lód wewnątrz. W celu zbadania tego samorzutnego procesu, który w ciągu godziny bardzo mało się zmienia przy nieznacznych wahaniach temperatury zewnętrznej, wystarcza przed pomiarem przepuścić znany prąd elektryczny przez rurę absorbcyjną A. Prąd ten przepuszcza się, gdy wielkość spadających kropeł jest znana; gdy nie jest znana, należy przepuścić dwa różne prądy.

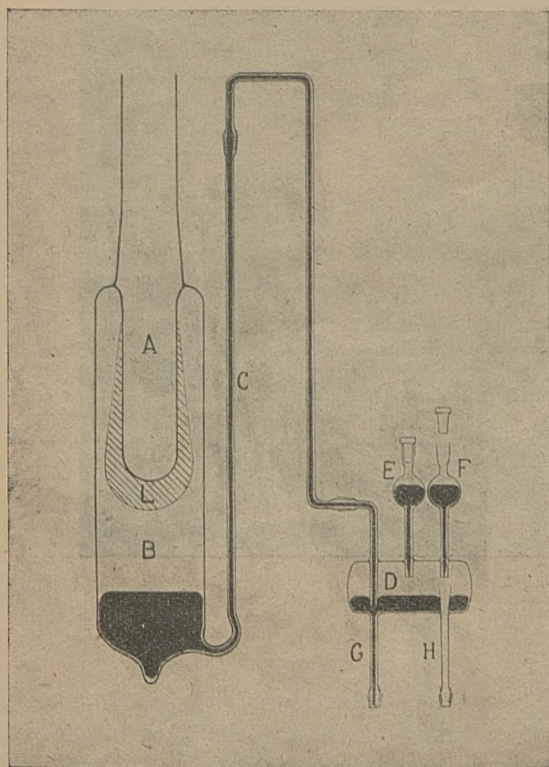
Aby wyznaczyć wielkość kropeł, zamykamy rurkę włoskowatą E, a otwieramy F. Gdy zaczniemy dostarczać rurze określone ilości energii, np. 1 kaloryję gramową na minutę, zaczynają spadać krople co 160 sekund z dokładnością do 0.2 sekundy. Spadające krople będą się dostawały do rurki włoskowatej H, napełnionej wodą. Po obliczeniu 10 kropeł zamykamy rurkę F, a otwieramy E. Wypływająca rtęć zbiera się w małym naczynku i zostaje zważona. Wielkość spadających kropeł jest bardzo stała, przy pomiarach autora wynosiła ona 41.8 ± 0.1 mgr. niezależnie od temperatury naczynia D i od prędkości spadania (w granicach od 40 do 240 sekund).

W ten sposób otrzymujemy ostateczną wielkość kropeł. Na jedną kaloryję gramową wypada 15, 47 mgr.

rtęci; ponieważ krople ważyły 41.8 mgr., więc aby jedna kropla spadła, kalorymetr musi pochłonąć 2.71 kal. gr. Mierząc odpowiednie czasy znajdujemy energję pochłanianą w jednostce czasu.

Zasadniczym warunkiem przy pomiarach kolorymetrem lodowym jest stałość temperatury zewnętrznej, dlatego też należy pracować w przestrzeni wolnej od wahań temperatury.

(Według przekładu A. Oczykowskiej).

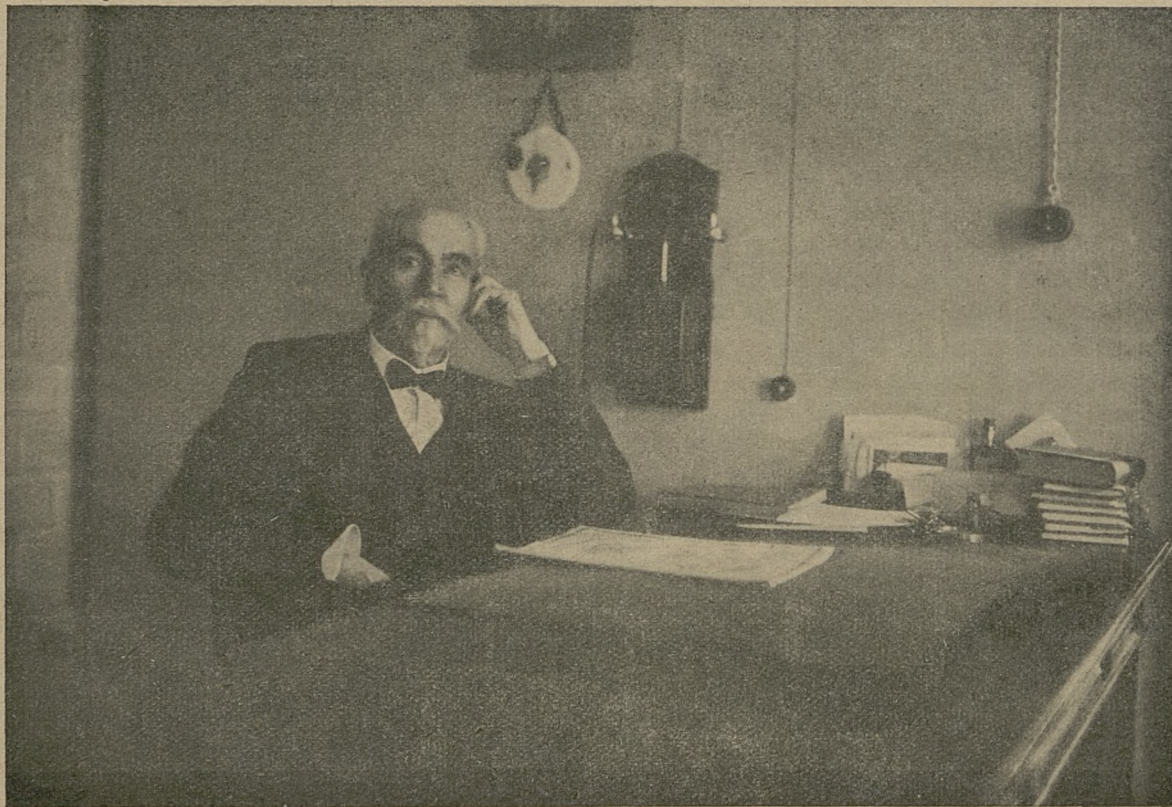


W. Niebrzydowski

Bronisław Grąbczewski

27 lutego r. b. zmarł w Warszawie po długich cierpieniach Bronisław Grąbczewski, jeden z najwybitniejszych podróżników polskich, znany z wypraw do tajemniczych obszarów Azji środkowej. Należał on do grona tych nieustraszonych badaczy, którzy, przezwyciężając ogromne trudności i niebezpieczeństwa, otoczeni nieprzyjaznymi plemionami, w ciężkich warunkach klimatycznych na szczytach pasm olbrzymich gór azjatyckich, przedzierali się na wschód do Mongolji, Turkiestanu Wschodniego i Tybetu, dotarli do miejscowości, gdzie przedtem nigdy nie stanęła noga Europejczyka i częściowo zdjęli zasłonę z tego, dotychczas mało znanego kraju. Byli to Potanin, Przewalski, Grum-Grzymiło, Semenow Tiań-Szański, Kozłow, Swen Hedin i inni.

Ś. p. Bronisław Grąbczewski urodził się w r. 1855 na Litwie, w majątku rodzinnym Kownatowie, skonfiskowanym przez władze rosyjskie za udział ojca jego w powstaniu 1863 r. Po ukończeniu studiów gimnazjalnych w Warszawie i złożeniu egzaminu przy szkole wojskowej w Rosji, jako oficer armji rosyj-



BRONISŁAW GRĄBCZEWSKI

skiej brał udział w ekspedycjach organizowanych do Azji środkowej, uczestnicząc po raz pierwszy w r. 1875 w wyprawie wojennej do Kokandu. Od tej chwili zaczyna się jego działalność podróżnicza, najpierw jako uczestnika wypraw wojennych, a potem jako przedstawiciela administracji miejscowej. Działalność ta trwała do połowy ostatniego dziesięciolecia ubiegłego stulecia. Samarkanda, Margelan, pasma gór Aleksandryjskich i Fergańskich, dolina rzeki Sussamyru, Tiań Szań, źródła Syr Darji i Narymu, dolina Fergany, Kaszgar, Pamiry, dolina rzeki Murgab, Szugnan, południowe obszary Turkiestanu Wschodniego, płaskowzgórza Tybetańskie, Raskem Darja, Hindukusz, dolina Karakacz, południowe zbocza Himalajów, oto tereny jego prac i badań. Podczas podróży zbierał on obfity materiał etnograficzny, geologiczny, botaniczny i zoologiczny, dokonywał obserwacji meteorologicznych, wyznaczał punkty astronomiczne, obliczał wysokości, prowadził prace topograficzne, dokonywał licznych zdjęć fotograficznych. Za wyniki swych podróży otrzymał medal złoty i srebrny od Towarzystwa Geograficznego w Petersburgu.

W r. 1896 Grąbczewski udał się na Daleki Wschód, gdzie delegowano go na stanowisko pogranicznego komisarza w kraju nadamurskim, a w r. 1899 obejmuje stanowisko komisarza generalnego Kwantungu. W r. 1903 został przeniesiony na stanowisko gubernatora astrachańskiego i atamana astrachańskich wojsk kozackich, które obejmował do r. 1906. W tym roku, wskutek zatargu z premierem Stołypinem, zmuszony był opuścić Astrachań i wyjechać zagranicę, skąd wrócił do Rosji w r. 1910. Po przewrocie bolszewickim dostał się do Polski. Tu w r. 1921 (1.VI) zajął skromne stanowisko bibliotekarza oraz młodszego obserwatora w Wydziale Stacyj Państwowego Instytutu Meteorologicznego, lecz 30 listopada r. 1923 został zredukowany. Ostatnimi laty, będąc już chorym i bez posady, utrzymując się ze skromnej emerytury, zaczął śpiesznie pracować nad wydaniem opisów swych podróży, z których 4 tomy już wyszły z druku: „Kaszgarja“, „Przez Pamiry i Hindukusz“, „W dolinie Raskiemu i Tybetu“, „Wspomnienia Myśliwskie“. Śpieszył się Grąbczewski z wykończeniem swych prac, gdyż obawiał się, że śmierć mu przeszkodzi. Obawy te były aż nadto uzasadnione.

Na zakończenie pozwalam sobie przytoczyć kilka pięknych słów Juljana Eismonda z nekrologu o Grąbczewskim zamieszczonego w „Gazecie Warszawskiej“:

„Największy urok dzieł Grąbczewskiego stanowi prawda tak prosta, iż staje się aż poezją. Na to zaś, by mówić z prostotą o pochodzie przez najwyższe góry świata, trzeba mieć samemu w piersi serce wielkie i nieba sięgające. Odszedł od nas śmiały podróżnik w podróż daleką, w podróż ostatnią do błękitnej ojczyzny, z której już nikt nie wraca“.

R. Gumiński

Stacja meteorologiczna w Łodzi

Station météorologique à Lodz

Stacja meteorologiczna w Łodzi, przy dyrekcji tramwajów miejskich założona została w r. 1903 przez ś. p. inż. Józefa Witkowskiego, zasłużonego choć mało znanego pracownika na polu kartografji, ówczesnego dyrektora tramwajów. Świadom doniosłości gromadzenia materiału klimatologicznego z kraju, ś. p. Witkowski nie szczędził kosztów i pracy, aby wyposażyć stację w możliwie kompletne instrumentar-



jum i zorganizować wzorowo jej obsługę. Stacja zaopatrzona została prawie we wszystkie przyrządy przewidziane dla stacji rzędu I (obserwatorjum). Funkcjonowała ona bez zarzutu w ciągu lat 11 pod osobistym kierownictwem swego założyciela.

Działania wojenne, których Łódź i jej okolice były widownią w latach 1914—1915 spowodowały, że funkcjonowanie stacji uległo czasowej przerwie, pozatem pewne instrumenty uległy poważnym uszkodzeniom (np. zdemolowany został doszczętnie heliograf syst. Campbella trafiony celnym pociskiem armatnim).

W roku 1919 kierownictwo stacji objął p. Bronisław Krakowski, zarządzający elektrownią tramwajową. Dzięki jego staraniom stacja wkrótce została znów uruchomiona i zaczęła przysyłać wyniki swych spostrzeżeń do nowopowstałego Państwowego Instytutu Meteorologicznego w Warszawie.

Jak zaznaczono wyżej, stacja mieści się na terytorjum dyirekcji tramwajów miejskich przy ulicy Tramwajowej na wschodniej peryferji miasta.

Ostatnie, jak wiadomo, położone jest na krańcu południowego Mazowsza, na dziale wodnym, zdala od większych rzek, w otoczeniu licznych moren czołowych.

Współrzędne geograficzne stacji są następujące:

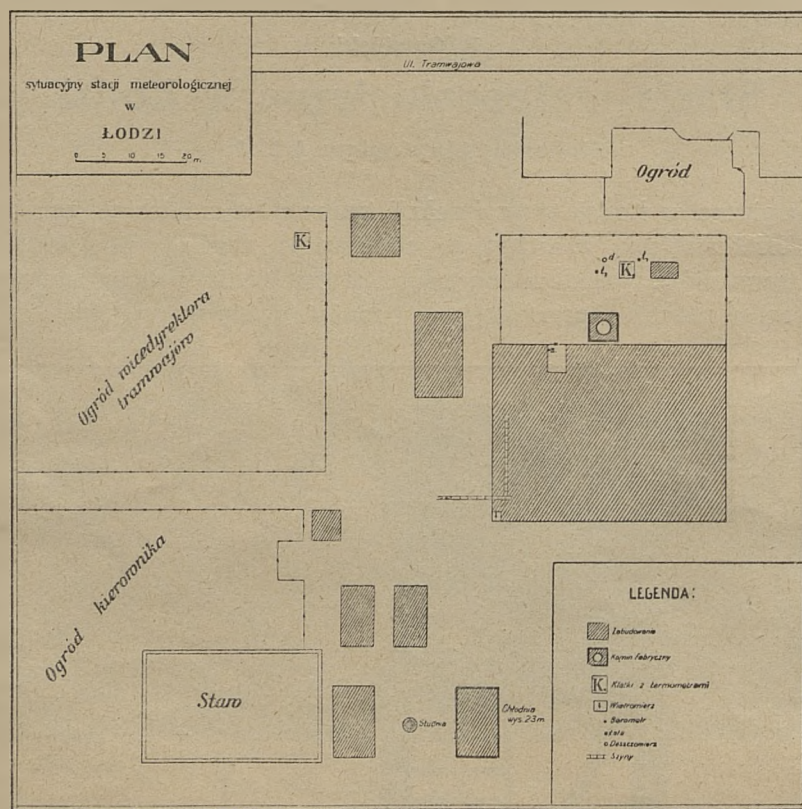
$$\varphi = 51^{\circ} 46' 21''$$

$$\lambda = 19^{\circ} 28' 40'' \text{ na wschód od Greenwich}$$

$$\text{Wysokość bezwzględna } H = 217.7 \text{ m. (nad poziomem Bałtyku)}$$

Długość i szerokość geograficzna obliczona jest z mapy topograficznej w skali 1:26.000 wysokość nad poziom morza—według wysokości reperów ustanowionych podczas niwelacji w roku 1902. Dwa z nich znajdują się na terytorjum dyirekcji, przyczem jeden na gmachu elektrowni.

Plan sytuacyjny stacji zamieszczony jest poniżej.



Barometr naczynkowo-lewarowy syst. Wild-Fuess Nr. 237 umieszczony jest w szafce w kancelarii elektrowni na ścianie południowej w odległości 1 metra od okna, wychodzącego na zachód.

Wysokość barometru nad poziom podłogi wynosi 70 cm, nad poziom gruntu — 75 cm (podłoga z pojedynczej warstwy cegieł ułożona wprost na gruncie mierzy 5 cm grubości). Wysokość tedy całkowita barometru ponad poziom morza wynosi 218,5 m.

Niestety barometr od kilkunastu lat nie jest przeczyszczany, wskutek czego rura szklana jest, dość brudna, i ustawienie nonjusa jest wskutek tego znacznie utrudnione. Poprawka do instrumentu wyznaczona przed piętnastu laty wynosi $+ 0.3$ mm.

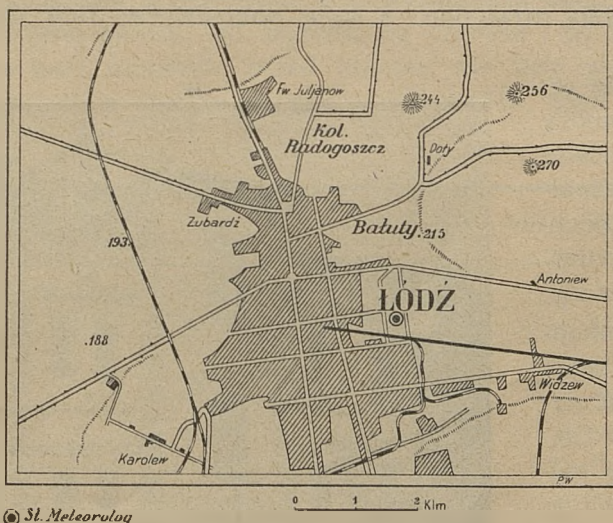
Termometry umieszczone są w budce cynkowej, mieszczącej się w klatce Wilda, (typu według instrukcji Główn. Obserw. Fizycznego w Petersburgu z r. 1887). Niewentylowana budka mieści 4 termometry (suchy, zwilgocony i skrajne), termograf oraz hygrograf.

Jak widać z planu, klatka ustawiona jest zaledwie w odległości 6 metrów od komina. Prawdopodobnie wskutek tego sąsiedztwa batyst na termometrze zwilgoconym ulega często zanieczyszczeniom i musi być zmieniany przynajmniej 2 razy w ciągu miesiąca. Zaznaczyć też należy, że w miejscu obecnym klatka stoi dopiero od października 1925 r. Poprzednio mieściła się ona w rogu ogrodu wicedyrektora tramwajów. Miejsce to w chwili zakładania stacji było na nią zupełnie odpowiednie, natomiast dzisiaj do instalacji stacji meteorologicznej się nie nadaje. Niewielkie początkowo drzewka owocowe rozrosły się o tyle, że zasłoniły prawie z trzech stron klatkę, z czwartej zaś w pobliżu umieszczono szopę, mającą dach i ściany boczne z grubej blachy. Oczywiście nie pozostało to bez wyraźnego wpływu na wskazania termometrów w klatce.

Dwa deszczomierze syst. Hellmanna umieszczone są obok klatki po obu stronach słupa. Wysokość jego w czasie inspekcjonowania stacji w dniu 15.III 1926 r. była zbyt niska (87 cm)

Tuż obok klatki wkopane są łąty śniegowe.

Wiatromierz Wilda umocowany jest na dachu elektrowni na wysokości 13,75 m nad powierzchnią gruntu. Róża wiatrów zorjentowana według wskazań busoli precyzyjnej. Z budowli sąsiednich przewyż-



sza wiatromierz jedynie komin elektrowni (ca 30 m wysokości) i wieża chłodnicza, której wysokość wynosi około 23 m. Należy zaznaczyć, że z wieży chłodniczej w ciągu całego dnia unoszą się słupy pary wodnej.

Poza wymienionymi przyrządami stacja posiada jeszcze barograf Dorfell'a (dotychczas nie sprawdzony), psychrometr aspiracyjny Assmanna typu większego, aneroid Biramsa i precyzyjną busolę górniczą.

Niestety dostarczane stacji paski papierowe do przyrządów samopiszących przygotowane są z tak lichego papieru, że krzywe na nich wykreślone rozlewają się i prawie nie nadają się do późniejszego opracowania.

Jak zaznaczyłem, kierownictwo stacji spoczywa w doświadczonych rękach p. Bronisława Krakowskiego, obowiązki obserwatorów zaś pełnią na zmianę pp. Karol Ryder i Józef Bogusławski, majstrowie elektrotechniczni.

Bolesław Błażek.

Stacja meteorologiczna w Cieszynie

Station météorologique à Cieszyn

Śląska stacja meteorologiczna przy państwowej szkole gospodarstwa wiejskiego w Cieszynie rozpoczęła swą czynność 1-go stycznia 1923 r. Ponieważ budynek, przeznaczony na pomieszczenie stacji, był w chwili przeniesienia szkoły z Bydgoszczy do Cieszyna w listopadzie 1922 r. zajęty przez osoby prywatne, pomieszczono stację narazie w folwarku szkolnym w Hermanicach, odległym od miasta o 23 km., jako stację II-go rzędu. Równocześnie jednak rozpoczęto starania o uwolnienie budynku od dotychczasowych lokatorów przez prokuratorję państwową w Krakowie. Po szeregu rozpraw sądowych 1-ej i 2-ej instancji, udało się to uzyskać i 1-go stycznia 1924 r. eksmitowano ostatniego lokatora.

Otrzymało w ten sposób jednopiętrowy budynek, na razie jednak nie do użytku, gdyż dotychczasowi lokatorzy, czując konieczność opuszczenia dotychczasowego bezpłatnego pomieszczenia, zniszczyli je zupełnie. W niektórych pokojach podłoga, ramy wewnętrzne okien, nawet odrzwia poszły na opał; w niektórych piece zostały rozwalone, a kafle pokradzione; rury wodociągowe i gazowe wyrwane z murów i sprzedane.

Należało przystąpić do remontu. Dokonano go bez pomocy skarbu państwa, własnymi siłami i środkami, przy czynnym współdziałaniu w robotach murarskich, stolarskich, ciesielskich i monter-skich przyszłego personelu stacji.

Jesienią r. 1924 roboty ukończono, i 1-go października tegoż roku rozpoczęła swą czynność nowa stacja meteorologiczna w Cieszynie, wyposażona narazie w najniezbędniejsze przyrządy stacji II-go rzędu, przy czem dotychczasową stację w Hermanicach pozostawiono z jej całym wyposażeniem.

W nowym budynku stacji, który został odnowiony, mieści się na parterze mieszkanie obserwatora, asystenta i precyzyjne warsztaty mechaniczne; na piętrze mieszkanie kierownika stacji, pracownię i oddział obserwacyjny. Na dachu dobudowano obserwatorium dzięki zasiłkowi pieniężnemu tow. „Kresy“ w Cieszynie.

Skromne na razie wyposażenie stacji uzupełniano częściowo drogą kupna, częściowo drogą przyjmowania w depozyt i używalność przyrządów za cenę świadczeń w obserwacjach meteorologicznych. (Ministerstwa Kolei, za cenę obserwacji dla celów lotniczych), częściowo przy pomocy warsztatów mechanicznych stacji.

Obecnie „Śląska stacja meteorologiczna“ jest stacją I-go rzędu, i obok zwykłych terminowych obserwacji meteorologicznych, wykonywuje stale obserwacje nad insolacją oraz dla celów lotniczych.

Na wyposażenie stacji w obecnej chwili składają się następujące przyrządy:

Barometr redukcyjny, aneroid, barograf, termometry normalne, minimum i maximum, termograf, termohygrograf, deszczomierz, pluwiograf Hellmanna — Fuessa, psychrometr aspiracyjny Assmanna, wiatromierz Wilda, anemosinemograf Richarda, aktynometr Michelsona, pyrheljografy Molla dla insolacji normalnej, całkowitej i wypromieniowania nocnego, heljograf Campbella, nefoskop, 2 teodolity, waga balonowa, hydrograf, interpolator, 2 galwanometry lusterkowe Deprez - Darsonvala.

Prócz tego stacja rozporządza urządzeniem laboratoryjnym dla kontroli przyrządów, a nadto własną stacją radio - odbiorczą.



Stacja meteorologiczna w Cieszynie.

Wydział Morski w Nowymporcie

(Komunikat № 2)

Ostrzeżenia. Wydział Morski w Nowymporcie, któremu powierzona jest między innymi służba ostrzegawcza na całym wybrzeżu polskim, wydaje codziennie prognozy i, w razie potrzeby, ostrzeżenia przed burzami na morzu. Prognoza jest wydawana na podstawie mapy synoptycznej z godz. 8-ej rano; o godz. 10-ej treść prognozy komunikuje się telefonicznie stacji meteorologicznej w Pucku, która rozpowszechnia ją drogą radjotelegraficzną. Ostrzeżenia przed burzą wydawane są zazwyczaj jednocześnie z prognozą. W wypadkach, gdy przewidywane jest szybkie zbliżenie się burzy, wydaje się ostrzeżenie poza zwykle przyjętym terminem, aby mieć możliwość zawiadomić na czas wszystkie ostrzegalnie na wybrzeżu, które za pomocą sygnałów sztormowych, wywieszanych na masztach, ostrzegają znajdujących się na morzu rybaków i okręty przed grożącym im niebezpieczeństwem. W roku 1925 (patrz załączoną tabelę) wydano ostrzeżeń 92, z których trafnych było 89, czyli 97% wydanych ostrzeżeń. Zbliżenie się niebezpieczeństwa burzy nie było jednak przewidziane w 19 wypadkach; odnośnie do tych ostatnich można podzielić rok 1925 na dwa równe okresy: od stycznia do czerwca i od lipca do grudnia. W okresie pierwszym było 18 wypadków burz morskich, przed którymi nie było wydane ostrzeżenie, co stanowi 44% ogólnej ilości (41) dni z burzą, w okresie drugim — 1 wypadek, czyli 1,5% ogólnej ilości (67) burz.

Ilość ostrzeżeń	I	II	III	IV	V	VI	VII	VIII	IX	X	XI	XII	Rok 1925
wydanych	9	6	1	1	—	8	3	9	11	14	14	16	92
trafnych	9	4	1	1	—	8	3	9	11	14	14	15	89
chybionych	—	2	—	—	—	—	—	—	—	—	—	1	3
W ilu wypadkach burzy nie było wydane ostrzeżenie	6	3	2	1	—	6	—	—	—	—	—	1	69

Niedostateczna ilość sygnałów ostrzegawczych w pierwszym półroczu tłumaczy się m. in. tem, że ostrzeżenia były wydawane tylko jeden raz na dobę, jednocześnie z prognozą. W drugim półroczu zmieniono ten system i w razie potrzeby wydawano ostrzeżenia również o godz. 8^{1/2} rano lub o godz. 16-tej, na podstawie map synoptycznych z godz. 19-ej, wzgl. 14-ej, dzięki czemu w jednym tylko wypadku nie była przewidziana burza, a mianowicie dnia 3 grudnia, w którym, trwający około 1/2 godziny szkwał, osiągnął siłę 6—7 stopni według skali Beaufort'a.

Ostrzeżenia są wydawane w razie przewidywania w ciągu doby najbliższej wiatrów o sile ponad 6 stopni według skali Beaufort'a (10 m/s). Najniebezpieczniejsze na naszym wybrzeżu są wiatry z kierunków od SW do N, powstające w południowym, zachodnim i północo-zachodnim sektorze depresji, natomiast wiatry SE, E i NE. powstające we wschodniej części niżu, nie przedstawiają zbyt poważnego niebezpieczeństwa, osiągając rzadko siłę 6—7 stopni skali Beaufort'a. Jedynie w Gdyni wiatry południowo-wschodnie są zazwyczaj silniejsze, niż w innych miejscach naszego wybrzeża, co możnaby wytłumaczyć warunkami terenowymi. Mianowicie, Gdynia położona jest u ujścia wąwozu, biegnącego w stronę morza w kierunku południowo-wschodnim; szerokość tego wąwozu w okolicach Gdyni waha się od 2^{1/2} do 3 kilometrów, a brzegi jego, wznosząc się stromo w górę, osiągają od strony południowej wysokość 140 m, a od strony północnej — 85 m. Prawdopodobnie więc warunki terenowe są przyczyną powstawania wybitnie miejscowych wzmocnień siły wiatru. W przyszłości Wydział Morski zamierza przystąpić do dokładniejszego zbadania układu wiatrów na wybrzeżu polskim pod względem ich siły i kierunku.

W. Skup.

Prace naukowe. Gromadzone od lat kilku mapy synoptyczne, wydawane przez Wydział Morski, oraz spostrzeżenia klimatologiczne, dokonywane systematycznie na wybrzeżu polskim przez stacje, podległe Wydziałowi, tworzą b. interesujący materiał, którego opracowanie rzucić może ciekawe światło na stosunki atmosferyczne, panujące na naszym wybrzeżu i w Zatoce Gdańskiej.

Działalność naukowa Wydziału Morskiego w kierunku opracowania tego materiału nie rozwinęła się jeszcze ze względu na niedostateczną liczbę lat spostrzeżeń. Narazie zajęto się jedynie ulepszeniem metod spostrzeżeń, zarówno na wybrzeżu, jak i na stacji meteorologicznej Wydziału Morskiego w Nowymporcie. W tem ostatniem miejscu ustawiono szereg przyrządów samopiszących, niezbędnych do ciągłego notowania stanu atmosfery, oraz zainstalowano instrumentarium do badań specjalnych.

W dziedzinie prac naukowych, rozpoczętych obecnie w Wydziale Morskim, wzięte zostały pod uwagę nietylko problemy, odnoszące się do terenu miejscowego i ogólnokrajowego, ale uwzględnione zostały w opracowaniach również tematy, dotyczące różnych obszarów kuli ziemskiej, w założeniu, że nauki o charakterze ogólno-ziemskim, jak geofizyka, oceanografia i meteorologia globalna, nie mogą się ograniczać do badań na jednym tylko, ściśle ograniczonym terenie. Z tego też względu przystąpiono do robót na szerszą nieco skalę, w miarę sił i możliwości.

Obecnie jest na wykończeniu praca E. Stenza „O rozkładzie promieniowania słonecznego na Oceanie Atlantyckim“, zawierająca wyniki pomiarów pyrneliometrycznych, dokonanych na pokładzie okrętu „Flandria“ w podróży do Ameryki Południowej na jesieni 1925 r. Niektóre pomocnicze obliczenia zostały wykonane przez pracowników Wydziału.

Rozpoczęto pracę „O stosunkach klimatycznych w Boliwii“, opartą na materiałach meteorologicznych, zebranych przez profesora Uniw. Warsz., D-ra R. Kozłowskiego w Oruro ($\varphi = 17^{\circ} 58'S$, $\lambda = 67^{\circ} 04'W$ Gr., $H = 3703$ m.) w okresie czteroletnim 1916 — 1919. Praca ta jest z tego względu interesująca, że odnosi się do miejscowości podzwrotnikowej wysokogórskiej, której klimat, ze względu na brak stacji meteorologicznych w okolicy, dotychczas nie został zbadany. Materiał obserwacyjny jest co prawda niekompletny, ale składające się nań zapiski niektórych przyrządów samopiszących (termograf, hygrograf) już same przez się przedstawiają nieocenioną wartość naukową, tembardziej, że były starannie gromadzone przez prof. Kozłowskiego. W pracy rachunkowej, jakiej wymaga opracowanie krzywych zarejestrowanych oraz redukcja niektórych czynników na wysokość (np. wilgotności powietrza) biorą udział pracownicy Wydziału, pp. A. Gackowski i S. Kończak pod kierownictwem E. Stenza.

Poza pracami o charakterze klimatologicznym zamierzone są w Wydziale Morskim prace doświadczalno-obszernicze. Obecnie urządzone jest laboratorium sprawdzania instrumentów okrętowych (chronometrów, kompasów, latarni pozycyjnych, sekstantów i t. p.), które nadto przystosowane będzie do prowadzenia prac naukowych w pewnych dziedzinach oceanografji, geofizyki i meteorologii. Laboratorium składa się narazie z dwóch pokojów, z których jeden jest przeznaczony na przyrządy rejestrujące (anemograf, pluwiograf, aktynograf słoneczny, aktynograf nocny i chronometry) oraz służy do prac pilotowych i aktynometrycznych, drugi zaś jest zamieniony na ciemnię optyczną i służy do robót fotograficznych, fotometrycznych i t. p. Tamże zostały ustawione galwanometry, jeden zwykły do prac nad wypromieniowaniem, drugi o rejestracji fotograficznej, służący do zdjęć spektrograficznych widma słonecznego. Spektrograf, aktynografy i inne przyrządy zostały ustawione na tarasie. Po wypróbowaniu spektrografu w Nowymporcie zostanie on zainstalowany na wybrzeżu (prawdopodobnie w okolicach Helu) dla systematycznych badań promieniowania słonecznego nad Bałtykiem. Laboratorium posiada instalację elektryczną, gazową i wodną. Szczupłe środki, jakimi Wydział Morski rozporządza, nie pozwalają jednak, niestety, na odpowiednie urządzenie pracowni i zaopatrzenie jej w konieczne instrumenty.

W Wydziale odbywają się w odstępach jedno lub dwutygodniowych posiedzenia, na których omawiane są sprawy bieżące instytucji oraz wygłaszane przez poszczególnych pracowników Wydziału Morskiego sprawozdania z prac własnych lub też referaty bardziej ogólne na tematy z dziedziny oceanografji, geofizyki, meteorologii, żeglugi morskiej, radjotechniki i t. p. W ostatnich czasach zostały wygłoszone m in. referaty następujące:

- 1) W. Skup. Z oceanografji Morza Czarnego.
- 2) A. Kwiatkowski. O sygnałach akustycznych podwodnych.
- 3) W. Herwich. Meteorologia jako nauka ścisła.
- 4) W. Skup. O sposobach mierzenia głębokości dna morskiego.
- 5) S. Kończak. Prędkość wznoszenia się balonu pilotowego.
- 6) E. Stenz. Wyniki pomiarów promieniowania słonecznego na Oceanie Atlantyckim z 1925 r.
- 7) A. Gackowski. Sprawozdanie z pracy Dr. L. Bartnickiego: „O przebiegu czynników meteorologicznych w Polsce“...

- 8) J. Woliński. O przeszkodach atmosferycznych przy radjoodbiorze.
- 9) W. Skup. O pracy W. Kurrika: Nowe tory cyklonów.
- 10) E. Stenz. O falowaniu morza.
- 11) J. Woliński. Projekt nadawczej stacji radjofonicznej dla wybrzeża polskiego.

Odbywane co tydzień posiedzenia przyczyniają się znacznie do ożywienia działalności naukowej Wydziału i tworzą pożądany kontakt pomiędzy poszczególnymi pracownikami.

Nieodzownym warunkiem wydajnej pracy specjalnej i naukowej jest dobra biblioteka. Niestety, obecnie Wydział Morski abonuje zaledwie kilka najniezbędniejszych pism, których zakres jest jednak niewspółmiernie mały w stosunku do potrzeb Wydziału. Obecnie czynione są starania o zwiększenie stałej dotacji na prenumeratę pism i zakup dzieł do Biblioteki.

Nowyport. W lutym 1926 r.

Edward Stenz.

Przegląd literatury

1. Geofizyczny Sbornik, wydawany Główną Geofizyczną Obserwatorją. Tom IV, wydanie 3. Leningrad 1925.

(Recueil de Géophysique publié par l'Observatoire Géophysique Central)

Ostatni zeszyt zawiera 7 artykułów:

1. **A. Roździestwienski:** Rejestracja poszczególnych uderzeń wiatru w Leningradzie na wieży Głównego Obserwatorium Geofizycznego.
- 2) **E. Berg:** Dane o nadzwyczajnych deszczach różnej trwałości w ciągu dziesięciolecia 1903-1912 na obszarze Rosji Europejskiej.
- 3) **A. Schoenrock:** Ilość dni z mrozem i ilość dni bez odwilży na obszarze Rosji.
- 4) **N. Kalitin:** Przezroczystość atmosfery ziemskiej według spostrzeżeń w Pawłowsku.
- 5) **W. Wiese:** O prognozach długoterminowych i ilości opadów w kwietniu i maju w południowo-środkowym i wschodnim obszarach Rosji.
- 6) **S. Sawinow:** Anomalia temperatury w r. 1924 - 25 według spostrzeżeń Obserwatorium w Pawłowsku.
- 7) **W. Szostakowicz:** Pokrywa śnieżna na Syberji Wschodniej.

Zatrzymamy się nieco na pierwszej pracy. Przyrządem używanym przez p. Roździestwienskigo był skonstruowany przez mechanika Obserwatorium, Rohrdanza, specjalny anemograf do pomiarów ciśnienia wiatru, który daje nieprzerwany zapis ciśnienia na daną płaszczyznę. Anemograf ten ustawiono w r. 1909 na wieży Obserwatorium dla badań ogólnego charakteru wiatru, jego porywów i wielkości maksymalnych, do których dochodzą poszczególne uderzenia wiatru. Przyrząd funkcjonował wogóle zadawalająco, aczkolwiek miał pewną bezwładność, przez którą zapisy nie zupełnie odpowiadały rzeczywistym uderzeniom wiatru. Uwydatniało się to przy szczególnie szybkich zmianach ciśnienia wiatru. Dla celów praktycznych jednakże maksymalne uderzenia wiatru notowane były za pomocą anemografu dość dokładnie.

Porównując wielkości ciśnienia wiatru z odpowiednimi wielkościami średnich prędkości, M. M. Rykaczew, za pomocą wzoru $p = K S v^2$ (w którym P oznacza ciśnienie wiatru w kilogramach na płaszczyznę S , a v — prędkość wiatru w metrach na sekundę) wyznaczył współczynnik oporu powietrza $k = 0,088$, przyjmując za jednostkę powierzchni 1 m^2 . Współczynnik ten jest mniej więcej dokładny przy szybkościach wiatru od 4 do 14 metrów i przy zwyczajnych warunkach zaburzenia (turbulencji) powietrza; przy wiekich szybkościach i przy poszczególnych uderzeniach wiatru zastosowanie tego współczynnika może spowodować niedokładność, nie przekraczającą jednak 1 — 2 metrów na sekundę.

Anemograf Rohrdanza, którego receptor stanowi kwadratowa płaszczyzna, o powierzchni 400 cm² zawsze stojącą prostopadle do kierunku wiatru, notuje bez przerwy wszystkie poszczególne i chwilowe uderzenia wiatru, podczas gdy anemografy Robinsona z obracającymi się półkulami podają *średnie szyb-*

Maksymalne ciśnienie wiatru (kg na 400 cm ²)	Odpowiednia do ciśnienia prędkość wiatru (obliczona według wzoru $p=0.0035 v^2$ m/s)	Ilość dni w roku z ciśnieniem nie mniejszym od danej wielkości	Roczna częstość w %
0.0	0.0	356.6	100.0
0.25	8.4	289.2	81.1
0.50	11.9	173.6	48.7
0.75	14.6	100.4	28.1
1.00	16.9	57.3	16.1
1.25	18.9	32.7	9.2
1.50	20.7	18.7	5.2
1.75	22.3	11.0	3.1
2.00	23.9	7.0	2.0
2.25	25.4	4.7	1.3
2.50	26.8	3.1	0.9
2.75	28.0	1.9	0.5
3.00	29.3	1.3	0.3
3.25	30.5	0.9	0.2
3.50	31.6	0.5	0.1
3.75	32.7	0.3	0.1
4.00	33.8	0.1	0.0

kości w ciągu określonego czasu. Zadaniem Roźdiestwienskigo było tedy, poza bezpośredniem opracowaniem dziesięcioletniego (1911 — 1920) materiału zapisów anemografu Rohrdanza, porównanie ich z zapisami anemografu Richarda. Przytoczymy niektóre wyniki opracowania.

W stosunku do częstości maksymalnych uderzeń wiatru w Petersburgu nie udało się zauważyć prawidłowych zmian w ciągu roku z miesiąca na miesiąc, jednakże można zauważyć, że najsilniejsze uderzenia zdarzają się częściej zimą, niż latem. Średnio przez rok najczęściej dają się zaobserwować maksymalne uderzenia wiatru w ciągu dnia, wywołane przez ciśnienie około 0.25 kg. Największe ciśnienie wiatru za okres 1911 — 1920 było zanotowane w październiku 1912 i dochodziło do 4.03 kg. Roczna częstość maksymalnych uderzeń wiatru *nie mniejszych od danej wielkości* przedstawia powyżej podana tablica.

Dane, otrzymane przy pomocy anemografu Richarda z obracającymi się półkulami, przedstawiają się następująco: największa średnia prędkość wiatru od r. 1874 do 1920 była = 18 m/s, a w ciągu ostatnich 10 lat (1911 — 1920) = 16 m/s (w październiku 1912). Najczęściej obserwują się średnie prędkości wiatru od 6 do 8 m/s, częstość zaś wiatrów ze średnimi prędkościami nie mniejszemi niż 15 m/s była znikoma.

W. Niebrzydowski.

2. Southport Auxillary Observatory. Annual Report and Results of Meteorological Observations for the year 1924. London. 1925.

Rocznik obserwacji, dokonanych w r. 1924 w The Fernley Observatory of the Corporation of Southport. Obserwatorium znajduje się we wschodniej części Heskett Public Park Southport pod $\varphi = 53^{\circ} 39' 24''$, $\lambda = 2^{\circ} 59' 3''$ W i $H_b = 42$ stóp.

Prócz zwykłych danych dotyczących stacji, przyrządów i t. d., rocznik ten zawiera miesięczne przeglądy pogody z ogólną charakterystyką roku i średnie, maksymalne i minimalne wartości każdego czynnika meteorologicznego również za każdy miesiąc i rok. W tablicach statystycznych podane są ciśnienia powietrza, temperatura powietrza i gruntu na głębokościach 1, 4, 10 i 20 stóp, insolacja i radjacja, usłonecznienie, zachmurzenie, ilości ozonu, zmienność temperatury, wilgotność względna, prędkość wiatru i jego kierunek (% częstotliwości), opady (sumy, ilości dni z opadem i największe dzienne ilości, czas trwania i natężenie); parowanie, średni poziom wód zaskórnych, zestawienie ilości czasu trwania opadu z kierunkami wiatru, roczny przebieg zjawisk specjalnych (☄ ✧ ▲ ☒ i. t. d.) przezroczystości i zmętnienie atmosfery, dobowe zmiany niektórych czynników (temperatury, usłonecznienia, wiatru, opadu) i tablice porównawcze danych Fernleya z innymi miejscowościami Anglii; w załączniku podane są szczegóły o głównych terminach okresowych, znalezionych przez J. Baxendella przez zastosowanie analizy har-

monicznej w stosunku do opadu (niektóre przewidziane daty przypadają na r. 1927 i 1928). Przy wszystkich zestawieniach podane są odchylenia od normy.

Oto niektóre wyniki spostrzeżeń:

1) Najwyższe ciśnienie powietrza w r. 1924 było 1038.2 millibara (78.8 mm) o północy 16 — 17.II najniższe 976.8 millibara (32,7 mm) o 2^h p. (27.XII); średnie za rok 1012.0 millibarów (59.1 mm) t. j. poniżej normy.

2) Najwyższa temperatura dochodziła do 82.3° F (12.VII), najniższa 24.8° F (10.I.) średnia 48.9° F (0.7 powyżej normy) na podstawie zestawień termometrów max. i min., 48.6° F na podstawie codziennych obserwacji.

3) Największa szybkość wiatru była 29 m/s. 21.IX o 2^h p przy kierunku wiatru WSW, szybkość przy najsilniejszych porywach była 39 m/s również 21.IX, średnia szybkość wiatru za cały rok = 6.5 m/s. Czas trwania poszczególnych kierunków w godzinach w ciągu roku i odchylenia od normy przedstawia następująca tablica:

	Suma godzin	Odchylenia
N	342	— 246
NE	490	— 138
E	952	— 80
SE	1606	+ 191
S	1391	+ 391
SW	1145	— 13
W	1924	+ 172
NW	934	— 277

Rekordowa częstotliwość wiatrów południowych spowodowała rok ciepły, wilgotny i bardzo pochmurny.

W. Niebrzydowski.

Jan Paweł Rychliński.

R. C. Mossman,

F. R. S. E. On Indian monsoon rainfall in relation to South American weather, 1875 — 1914. *Memoirs of the Indian Meteorological Department Vol. XXIII Part VI.* (Published by order of His Excellency the Viceroy and Governor General of India in Council) p. 157 — 242 Calcutta 1923.

Praca Mossman'a była już napisana w 1917 roku, ale wypadki wojenne pozwoliły na wydanie jej dopiero w r. 1923. Jedną z najważniejszych zalet tej pracy jest duży materiał statystyczny, dotyczący obserwacji meteorologicznych w Południowej Ameryce, zebrany w postaci przejrzystych tablic. Składa się ona z kilku części, które kolejno rozpatrzymy.

I. Rozważanie ogólne.

W pracy powyższej chodziło autorowi o ustalenie i zestawienie tych danych meteorologicznych dla Ameryki Południowej, które mogły mieć jakikolwiek wpływ na *indyjskie deszcze monsunowe*. Wielkie trudności Mossman napotkał przy zbieraniu obserwacji meteorologicznych dla możliwie długiego okresu czasu. Autor daje krótkie uwagi, co do poszczególnych tablic, zamieszczonych na końcu pracy, których tytuły w polskim języku zostaną niżej podane. W rozdziale pierwszym również pokrótce jest scharakteryzowany przebieg roczny opadów w Ameryce Południowej. W największych państwach tej części świata rozwój sieci meteorologicznych datuje się od pierwszego dziesiątka XX wieku. Krótkie szeregi obserwacji nie mogły być użytkowane ze względu na ich wpływ zakłócający.

II. „Ośrodki czynne“ („Centres of Action“) Południowego Pacyfiku.

Poprzednio już Mossman zajmował się kwestją zastosowania danych dla Południowego Pacyfiku przy przepowiadaniu monsumów (Volume XXI, Part II, page 40). Okazuje się, że Juan Fernandez daje daleko lepsze rezultaty przy badaniu „zwyżki“ na Południowym Pacyfiku od Easter Island (wyspy Wschodniej). Ciśnienie w Juan Fernandez za nielicznymi tylko wyjątkami było tego samego znaku, co i w Point Galera. Przeciwnie, porównywując zmiany ciśnienia z miesiąca na miesiąc dla ostatniej miejscowości oraz dla wyspy Wschodniej, spostrzec można poważne różnice. Dla tych oraz innych, podanych przez Mossman'a przyczyn Juan Fernandez jest dogodniejszy do badania monsumów.

Po rozważaniach, dotyczących tablicy XXVIII, autor znów wraca do zagadnień teoretycznych, dawniej już przez niego rozpatrywanych, o istnieniu pewnego rodzaju „huśtawki“ pomiędzy ciśnieniem (zwyżką) Południowego Pacyfiku z jednej strony, a zniżką antraktyczną na zachód od Ziemi Grahama z drugiej strony. Zmiany gradientu barometrycznego tłumaczą w wysokim stopniu stan pogody Południowej Ameryki na południe od zwrotnika, głównie zaś w Chile. Możliwym jest jednak, że wyżej wspomniana „huśtawka“ powstaje raczej na tle zmian, zachodzących na całym globie.

Dzieląc dane z tablicy XXVIII na dwie grupy; jedną dla stacji powyżej 40° S i drugą — na południe od 52° S, znaleźć można w odchyleniach ciśnień częste wypadki przeciwieństwa, ale również i liczne wypadki zgodnego zachowania się obu grup. Mossman stwierdza na podstawie danych dla 7 stacji na północ od 41° szerokości, że istnieje zależność pomiędzy opadem monsumowym w czerwcu do września, a stosunkami ciśnień w miesiącu maju. W okresie 10-cio letnim 1903 — 1913 tylko w latach 1906 i 1907 odchylenie ciśnień i wysokości opadów monsumowych są przeciwnych znaków.

III. Stosunki opadowe na побереżu Chile.

Na podstawie poprzednich uwag autor porównywa sumy opadów, wyrażone w $\%$ średnich dla szeregu lat, na stacjach: wyspa Ewangelistów (Evangelists Island — $52\frac{1}{2}^{\circ}$ S), Point Galera (szer. 40° S) oraz Conception (szer. 37° S). Z danych dla pierwszej miejscowości i drugiej widać, że w 12 wypadkach na 16 była niezgodność. Dla Conception i wyspy Ewangelistów tylko 1906 i 1907 mają opady równocześnie w niedomiarze (są zgodne). Dalej autor rozważa kierunki wiatrów dla Evangelists Isl., Point Galera i Conception w latach wilgotnych i suchych.

Ciekawym jest zestawienie wahań opadów dla wyspy Ewangelistów, Point Galera i Conception w czasie od maja do sierpnia, to jest w okresie mokrym dla побережу Chile od 43° do 27° szer. W okresie tym na wyspie Ewangelistów wypada tylko 28% rocznych opadów, w Point Galera — 57%, w Conception — 72%, a w Point Angeles (Valparaiso — 33° S) — 86%. Tablica ilustruje stosunki opadowe dla trzech pierwszych miejscowości od maja do sierpnia i w czasie monsumów indyjskich t. j. od czerwca do września. W większości lat istniała niezgodność między Point Galera i Conception, a Evangelists Island; szczególnie wybitną była ona w latach 1899 i 1909, dla których autor podaje rozkład wiatrów. Mossman nie znajduje jasnej zależności między opadami w Chile i deszczami monsumowymi.

IV. Lody na Orkadach Południowych (South Orkneys) w zestawieniu z opadami w południowej części Ameryki Południowej oraz z monsumami.

W poprzedniej pracy (Indian Meteorol. Memoirs Volume XXI. Part VIII (pg. 5—7) było już wskazane, że lata, w których Południowa Ameryka obfitowała w lód, są latami wysokiego ciśnienia nad Argentyną i Chile oraz latami dużych opadów w Indjach. Normalnie obszar stosunkowo wysokiego ciśnienia leży nad Łądem Grahama, a niskiego nad morzem Weddella. Zmiany w gradjencie barometrycznym powodują wyraźnie różnice w kierunku i sile wiatru, co znów wpływa na zasięg lodów. Krótka tablica podaje odchylenia opadów dla stacyj południowo-amerykańskich, dla poszczególnych pór roku przy rozmaitym stanie lodów na Południowych Orkadach. Mossman poddaje krótkiemu rozbirowi zachowanie się lodów i opadów.

Autor nie znajduje określonej zależności między stosunkami lodowymi na Południowych Orkadach, a deszczami monsumowymi. Możliwym jest, że wyżej wspomniane stosunki opadowe i lodowe nie wpływają bezpośrednio jedno na drugie, lecz są wynikiem ogólnego krążenia atmosferycznego. Hessling znalazł wybitnie duży dodatni współczynnik korelacji między temperaturą od kwietnia do listopada na

Południowych Orkadach, a opadem dla rozmaitych miejsc w Argentynie w okresie 3 — 4 letnim. Jednak ten sam autor znalazł również znaczne korelację ujemną w interwale $2\frac{1}{4}$ lat. To da się wytłómaczyć wpływem lodów antarktycznych na temperaturę oceanu, a więc i na zmiany w ruchu prądów oceanicznych. Tego rodzaju zagadnienia mają wielkie znaczenie, niestety w badaniu ich spotyka się przeszkody z powodu zbyt małej ilości materiału obserwacyjnego. Dalej Mossman zwraca uwagę na kilka pozornie drobnych, ale niezmiernie ciekawych zagadnień związanych z wpływem stanu lodów na Południowych Orkadach.

V. Streszczenie stanu pogody w Południowej Ameryce w okresie 1875 — 1915.

W tym rozdziale autor w krótkości opisuje stan pogody w Południowej Ameryce dla poszczególnych lat, po każdym roku zamieszczając uwagę o deszczach monsumowych. Pierwsze lata są scharakteryzowane dość pobieżnie, późniejsze zato coraz bardziej wyczerpująco.

VI. T a b l i c e.

Tablica I. Sumy roczne opadów, wyrażone w % średniej. Dane dla przeszło 30 stacji w okresie wieloletnim. Dla kilku stacji recenzent spostrzegł w sumach pewne nieścisłości.

Tablica I A. Wysokość Parany przy Rosario. Odchylenia od średniej (1884 — 1915) w metrach. Wartości dla miesięcy i całego roku.

Tablica II. Odchylenia od średnich ciśnień barometrycznych w milimetrach. Podane odchylenia sum rocznych dla kilku stacji od 1875 do 1915 r.

Tablica III. Odchylenia od średnich temperatur w stopn. C. Odchylenia podane dla 11 stacji w okresie 1875 do 1915.

Tablica IV — do XIV. Odchylenia od średnich ciśnień (rocznych i miesięcznych) dla następujących stacji: Wyspa Laurie (P. Orkady), Przylądek Pembroke (wyspy Falkland), Punta Arenas, Cordoba, Santiago, Buenos Aires, Sao Paulo, Curitiba, Rio de Janeiro, Cuyaba, Quixeramobim.

Tablica XV do XXVI. Odchylenia od średnich temperatur (miesięcznych i rocznych) dla: South Orkneys, Cape Pembroke (wyspy Falkland), Punta Arenas, Bahia Blanca, Santiago, Cordoba, Curitiba, Sao Paulo, Rio de Janeiro, Cuyaba, Quixeramobim, St. Helena.

Tablica XXVII. Średnie ciśnienie barometryczne przy 0° C. na poziomie morza dla szerokości geograficznej 45° od maja 1911 do grudnia 1913 r.

Podane ciśnienie dla 9-ciu stacji.

Tablica XXVIII. Odchylenie od średnich (1903 — 1913) średnich ciśnień na побереżu Chili, cieśniny Magellana i Południowego Atlantyku, włączając dwie stacje: Santiago w Chile i Cordoba w Argentynie. Odchylenia od średniej w mm.

Dane dla poszczególnych miesięcy dla 12-stu stacji.

Tablice XXIX. Odchylenia od średniej procentowej częstości kierunku wiatru na wyspie Ewan-gelistów 52 $\frac{1}{2}$ S szer., od maja do sierpnia (1899 — 1913).

Tablica XXX. Odchylenia różnic ciśnień pomiędzy Buenos Aires (39° S szer.) i Punta Arenas (53° S szer.) od średniej różnicy w mm. Dane dla miesięcy i lat w okresie 1889 do 1914 r.

Appendix. (Dodatek).

W dodatku autor zamieszcza surowy materiał obserwacyjny w szeregu tablic.

Tablica XXXI. Sumy roczne opadów w mm. Tutaj podał autor wartości dla: Bahia Blanca, Goya, Tucuman, Alto da Serra, Sao Paulo, Asuncion (Paraguay), Estancia Dos Chanares (Pampa Centralna), Hokitika (Nowa Zelandja), Serena, Valparaiso, Valdivia, Evangelistas, Bogota.

Tablica XXXII. Wysokości roczne ciśnień. Podane wartości dla: wyspa Laurie (Południowe Orkady) Cape Pembroke, (wyspy Falkland), Hobart (Tasmanja), Wellington (Nowa Zelandja), Sao Paulo.

Tablica XXXIII. Średnie roczne temperatur. Podane wartości dla: wyspy Laurie (Południowe Orkady), Cape Pembroke (wyspy Falkland), Sao Paulo, Bahia Blanca, Hokitika, (Nowa Zelandja), Dunedin (N. Z.), Hobart (Tasm.), Wellington (N. Z.), Goya, Kimberley.

Tablica XXXIV. Dotyczy Południowej Georgji (Cumberland Bay). Tablica składa się z dwóch części, a mianowicie:

1. Ciśnienie; średnia z 8^h, i 14^h 20^h zredukowana do 0° C, poziomu morza i podstawowej (standard) ciężkości. Dane dla miesięcy i lat od 1905 do 1917.

2. Temperatura; średnia z 8^h, 14^h i 20^h zredukowana do średniej z 24-ch godzin w °C. Dane dla miesięcy i lat (1905 do 1917).

Jak widać z zestawienia tablic, praca Mossmana obfituje w niezmiernie bogaty materiał i z tego powodu musi mieć dla badaczy pierwszorzędne znaczenie. W niewielkim tylko stopniu zmniejsza je dość duża ilość błędów, zauważonych i niezauważonych przez autora. W tego rodzaju monografiach, pisanych przez jednego uczonego, omyłek uniknąć niepodobna.

Dla wzniesienia w Polsce Narodowego Instytutu Astronomicznego im. Mikołaja Kopernika wystarczyłoby, aby każdy obywatel polski złożył na ten cel po 4 grosze, lub co dziesiąty obywatel po 40 groszy, albo co setny — 4 złote: dałoby to razem przeszło milion złotych. Nie ociążaj się więc czytelniku i złóż pewną ofiarę na Instytut w dowolnym urzędzie pocztowym w Państwie. Składając więcej, niż 4 grosze, każdym 1 złotym pokryjesz część, przypadającą na 25 mniej od Ciebie uświadomionych obywateli.

Jeżeli możesz, składaj stale co miesiąc.

Nazwiska ofiarodawców drukowane będą jak dotychczas na łamach

ROCZNIKA ASTRONOMICZNEGO

który przekaże je pamięci przyszłych pokoleń.

Konto Narodowego Instytutu Astronomicznego w P. K. O. Nr. 6600.

Bibliografja

W rozdziale tym podaje się ogólny spis wydawnictw, które Biblioteka Państwowego Instytutu Meteorologicznego otrzymała w ciągu miesiąca, prócz tego, sporadycznie podawane będą przeglądy literatury, zawierające krótkie i zupełnie obiektywne wyluszczenia treści niektórych prac.

Sous cette rubrique nous donnons la liste générale des publications, reçues dans le courant du mois par la Bibliothèque de l'Institut, en outre, nous donnons sporadiquement un résumé succinct de certains travaux.

W lutym r. b. do Biblioteki Państwowego Instytutu Meteorologicznego nadeszły następujące wydawnictwa:

- Acta Astronomica 1926, (Ser. C. Vol. I p.13—16). Kraków.
 Kosmos 1924 (Rocznik XLIX, zeszyt IV) 1925 (Rocznik L zeszyty II — III).
 Kronika Warszawy 1925, (zeszyt II).
 Wiadomości Statystyczne Głównego Urzędu Statystycznego: 1926 (NNr. 3 — 4).
 Gazeta Rolnicza 1926, (NNr. 5, 6, 7, 8, 9).
 Gazeta Cukrownicza 1926, (Tom LVIII NNr. 5, 6, 7, 8).
 Żeglarz Polski 1926 (NNr. 6, 7).
 Żurnal Geofizyki i Meteorologii (Journal of Geophysics and Meteorology) Vol I, Nr. 2. 1924 Leningrad.
 Bulletins des station sismiques du réseau de l'U. R. S. S. Pulkowo, Baku, Irkutsk, Kucino, Sverdłowski.
 Services hydrologique de la République Tchecoslovaque. Données pluviométriques. Janvier 1926. Manuel des stations pluviométriques.
 Bulletin de l'Observatoire de Lyon. (Nr. 2) 1926.
 Revue générale des sciences pures et appliqués 1926. (Nr. 2).
 L'astronomie 1926. Janvier.
 Annales de l'Institut de Physique du Globe de d'Université de Paris et du Bureau Central de Magnétisme Terrestre. 1925. Vol. III.
 The Astrophysical Journal 1925 December.
 Weekly Weather Report of the Meteorological Office (Vol. XLIII. 1926. NNr. 3, 4, 5, 6).
 Monthly Weather Report of the Meteorological Office. 1925. (Vol. 42. Nr. 12).
 H. D. Butler. The Radio Situation in Great Britain London. 1926.
 Bulletin of the National Research Council 1925, July (Nr. 53). Washington 1925.
 Monthly Weather Review (Vol. 58. NNr. 5, 6, 7, 10). Washington.
 Radio Service Bulletin issued monthly by Bureau of Navigation. Depart. of Commerce. (NNr. 99, 100, 101).
 Amateur Radio Stations of the United States. U. S. Departm. of Commerce. Bureau of Navigation Edit. June 30, 1925.
 Commercial and Government Radio Stations of the United States. U. S. Dep. of Comm. Bur. of Navig. Edit. June 1925.
 Radio aids to Navigation. Washington, 1925.
 Zeitschrift für Physik. 1926 (Band, 35 Hefte 5, 6, 7, 8, 9, 10), Berlin.
 Zeitschrift für Instrumentenkunde 1926. (Heft I).
 Meteorologische Zeitschrift 1925 (Nr. 12). 1926. (Nr. 1).
 Annalen der Hydrographie und Maritimen Meteorologie (Heft 2), 1926.
 Geografiska Annaler 1924. (Arg. VII Häft 1 och. 2, 3).
 De Svenska Flodernas Vattenmängder av. Gustaf Slettenmark. Meddelanden fran Statens Meteorologisk-Hydrografiska Anstalt. Band 3 Nr. 5. Stockholm 1925.
 Rivista Meteorico Agraria. Anno XLVII. 1926. Gennaio. (Decade 1, 2, 3).
 Bolletino della Sezione Meteorologica della Cirenaica. Anno 1924 Tripoli. (Nr. 4).
 Bolletino Mensile. 1925. Luglio. Ufficio Idrografico del R. Magistr. alle Acque Venezia.
 Buletinul lunar Ser. II, Vol. V, NNr. 7, 8, 9.
 Monthly Meteorological Summary. September 1925. Apia Observatory.
 Koninklijk Magnetisch en Meteorologisch Observatorium te Batavia. Verhandelingen Nr. 14: Regenval in Nederlandsch-Indie door Dr. J. Boerema. Deel II.
 Boletim Mensal. Directoria de Meteorologia. Rio de Janeiro, Brasil. 1925. (Vol. II Nr. 12).
 Boletim Mensal. Observatorio del Salto. Santiago de Chile. Resumen de Diciembre de 1925.
- ### Mapy synoptyczne.
- Angielskie: Daily Weather Report of the Meteorological Off.
 a) British section 1—31 I 1926.
 b) International section 1—31 I 1926.
 c) Upper air Supplement 1—31.I 1925.
 Austriackie: Wetterbericht der Zentralanstalt für Meteorologie und Geodynamik in Wien I.IX 1925—31.I 1926.
 Belgijskie: Koninklijk Weerkundig Instituut van België 1—31 I 1926
 Duńskie: Det Danske Meteorologiske Institut 1—31 I.1926
 Japońskie: Weather Charts of the Central Meteorological Observatory of Japan. Tokyo 2—31.XII 1925.
 Francuskie: Bulletins Quotidiens de Renseignements de l'Office National Météorologique de France. 25-I —21 II.1926.
 Bulletins Quotidiens d'Études de l'Off. Nat. Mété. de Fr. 24.I—20.II 1926.
 Bulletin Météorologique de l'Algérie 1.VII 1925 — 31.VII 1925.
 Łotewskie: Latwijas Meteorologiskis Biroja 1.XII 31.I 1926

- | | |
|---|---|
| Niemieckie: Wetterbericht der Deutschen Seewarte. Hamburg 16—31.I 1925, 1—15.II 1926.
Täglicher Wetterbericht der öffentl. Wetterdienststelle. Berlin 1—31.I 1926. | Szwedzkie: (Väderleksrapport utgiven av Statens Meteorologisk - Hydrografiska Anstalt, Stockholm 18.I—14.II 1926. |
| Norweskie: Det Norske Meteorologiske Institut. Vaerkart 1—31.I 1926. | Węgierskie: A magyar kir. országos Meteorológiai és Földmágnesség-i Intézet 1—31. 1926. |
| Polskie: Mapy synoptyczne Wydziału Morskiego w Nowymporcie 17.I — 15.II 1926. | Włoskie: Bollettino Meteorico del R. Ufficio Centrale di Meteorologia e Geofizica. Roma 1—31.XII 1925, 1—31.I 1926. |
| Rosyjskie: Jeżedniwnyj Meteorologiczeskij Biulletien Głównoj Geofizycznej Observatorji 1 — 31.I 1926 Leningrad. | Bollettino Giornaliero dell' Ufficio Idrografico del R. Magistrato alle Acque. Venezia 19.I - 22.II 1926. |

W. Niebrzydowski.